

ریخت‌شناسی، ژئوشیمی و پیدایش تراورتن‌های وابسته به گسل در تاقدیس آران، آوج، جنوب استان قزوین

بهروز رفیعی^{۱*}، حسن محسنی^۲، سعیده رحمانی^۳ و سمیه غضنفری^۴

۱- دانشیار گروه زمین‌شناسی، دانشکده علوم‌پایه، دانشگاه بوعالی سینا، همدان

۲- دانش آموخته دکترا، گروه زمین‌شناسی، دانشکده علوم‌پایه، دانشگاه بوعالی سینا، همدان

۳- دانش آموخته کارشناسی ارشد، گروه زمین‌شناسی، دانشکده علوم‌پایه، دانشگاه بوعالی سینا، همدان

۴- دانش آموخته کارشناسی ارشد، گروه زمین‌شناسی، دانشکده علوم‌پایه، دانشگاه بوعالی سینا، همدان

نویسنده مسئول: behrouzrafiei47@gmail.com

نوع مقاله: پژوهشی

دریافت: ۹۹/۲/۲۷ پذیرش: ۹۹/۴/۷

چکیده

نهشته تراورتنی بی‌آب و پلاروان در محل تاقدیس آران، شمال شهرستان آوج و در جنوب استان قزوین قرار دارند. یک برش از توده تراورتنی در حال ساخت پلاروان و دو برش از تراورتن بی‌آب مورد بررسی قرار گرفت. ریخت‌شناسی نهشته‌ها در هر دو منطقه از نوع آبرشاری بوده که تحت تاثیر گسل‌های منطقه قرار دارند. بر پایه ویژگی‌های ظاهری چهار لیتوتاپ لامینه‌ای، حباب پوشش‌دار، گیاهی و درختواره‌ای (دندریتی) در منطقه شناسایی شد. فابریک میکریتی با آلومک‌های پلوئیدی مهم‌ترین فابریک بوده و انحلال و سیمانی شدن از مهم‌ترین فرایندهای دیاژنزی تراورتن در منطقه می‌باشد. بر پایه یافته‌های آزمایش *XRD* از ۵ نمونه تراورتنی منطقه، کلسیت در منطقه بی‌آب، و کلسیت و آرگونیت در پلاروان کانی اصلی تشکیل دهنده می‌باشند. کانی‌های آواری ایلیت، کلریت و هماتیت نیز به مقدار کمی مشاهده می‌شود که خاستگاه آن‌ها از لایه‌های میوسن بالایی و پلیوسن موجود در زیر توده تراورتن می‌باشد. با توجه به یافته‌های *ICP-OES* از ۱۶ نمونه تراورتنی، کلسیم دارای بیشترین غلظت و منیزیم، سدیم، آهن و استرانسیم به مقدار کمتر در نمونه‌های تراورتن وجود دارند. مقدار این عناصر در تراورتن پلاروان بیشتر از منطقه بی‌آب است و به حضور سیانوباکتری‌ها، فعال بودن چشمۀ تراورتن‌ساز و رسوب آرگونیت مرتبط است. یافته‌های هیدروژئوشیمی آب چشمۀ نشان از عبور آب چشمۀ از لایه‌های نمکی در منطقه و نهشته شدن کربنات کلسیم از آب شور می‌باشد. گسل‌ها و شکستگی‌ها نقش مهمی در نفوذ آب به اعمق بیشتر و تعامل آب با لایه‌های زیرزمینی منطقه ایفا می‌کنند. تیپ آب هر دو چشمۀ از نوع کلرور کلسیک می‌باشد، این موضوع اختلاط آب‌های بی‌کربناته و آب‌شور و تبادل کاتیونی معکوس بین آب‌های شور و کربنات سنگ‌های اطراف را نشان می‌دهد. هدف این پژوهش مقایسه نهشته تراورتنی بی‌آب و پلاروان در دو سوی تاقدیس آران و نقش محیط‌رسوبی در تعیین ویژگی‌های نهشته تراورتنی می‌باشد.

واژه‌های کلیدی: تراورتن، لیتوتاپ، هیدروژئوشیمی، منطقه آوج، استان قزوین

پیشگفتار

بی‌کربنات به کربنات نهشته می‌شود و از نظر کانی‌شناسی مشکل از کلسیت و آرگونیت است. عواملی مانند کاهش فشار، آشفتگی جریان و فعالیت‌های زیستی موجب خروج گاز CO_2 از آب و رسوب کربنات کلسیم برای تشکیل تراورتن می‌شود (فورد و پدلي، ۱۹۹۶؛ بروگي و کاپترولي، ۲۰۰۹). ویژگی‌های ژئوشیمیایی رسوبات تراورتنی غالباً تابع شیمی آب چشمۀ تراورتن‌ساز بوده و هیدروژئوشیمی آب نیز تحت تاثیر ویژگی‌های زمین‌شناسی منطقه خاستگاه، فرایندهای هیدروژئوشیمی مانند انحلال، تبادل یونی و مسیر عبور آب می‌باشد (تاد و مین، ۲۰۰۴). ارتباط نزدیکی بین تشکیل تراورتن و گسل‌خوردگی که عامل اصلی انتقال آب به سطح زمین است، وجود دارد.

تراورتن، نهشته کربناته غیردریایی است که از آب‌های اشباع و فوق اشباع از کربنات و در مجاورت چشمۀ دریاچه‌ها، غارها و سیستم‌های کارستی تشکیل می‌شود (پنتکاست و وايل، ۱۹۹۴؛ فورد و پدلي، ۱۹۹۶). توفا معمولاً همراه تراورتن وجود دارد. تراورتن و توفا را می‌توان دو عضو انتهایی در این نوع از رسوبات کربناته قاره‌ای در نظر گرفت (کلایس و همکاران، ۲۰۱۵). توفا به سنگ‌های آهکی تشکیل شده در چشمۀ آب سرد یا دمای نزدیک به محیط اشاره می‌کند و با مقدار زیاد ارگانیسم‌ها و گیاهان مشخص می‌شود (فورد و پدلي، ۱۹۹۶). تراورتن در اثر خروج گاز CO_2 از آب و تبدیل

ساختاری و رسوبی متفاوت، آن را به هشت زون ساختاری تقسیم کردند (اشتوکلین، ۱۹۶۸). منطقه مورد بررسی (آوج) در زون ایران مرکزی قرار دارد و به وسیله گسل‌های بزرگ (مانند گسل آوج و گسل حسن‌آباد) شکسته شده و به صورت هورست و گرابن درآمده است. این گسل‌ها باعث ایجاد گسل‌های فرعی و شکستگی شدید در منطقه شده‌اند به طوری که همیری اکثر سازندها گسله می‌باشد. گسل آوج در قسمت جنوبی منطقه با امتداد شمال باخترا- جنوب خاور و گسل حسن‌آباد در قسمت شمالی منطقه عمل نموده‌اند (بلورچی، ۱۹۷۹). چندین گسل در منطقه بی‌آب قابل شناسایی می‌باشد که نهشته‌های تراورتنی در اطراف آن‌ها تشکیل شده است (شکل ۱). سنگ‌های پرکامبرین تا عهد حاضر در شمال منطقه حضور دارند و سنگ‌های اسلیتی (سازند کهر) به سن پرکامبرین پسین از قدیمی‌ترین توالی سنگ‌های رسوبی رختمون یافته در این زون می‌باشند. رسوبات میوسن بالایی به نام سازند سرخ بالایی گسترش زیادی در منطقه دارد. این سازند دارای دو عضو زیرین لایه‌های سرخ رنگ آوج (*M1*) و عضو بالایی به نام کنگلومرای بی‌آب (*M2*) است (بلورچی، ۱۹۷۹). واحد *M1* از ماسه‌سنگ، گل‌سنگ آهکی به همراه رسوبات تبخیری و گنبدهای نمکی می‌باشد. واحد کنگلومرای *M2* با سیمانی از جنس کربناته و رسی، گسترش زیادی در بخش شمالی منطقه مورد مطالعه دارد (قبادی و همکاران، ۱۳۹۰). بر پایه یافته‌های تازه که توسط احمدی‌قمی و همکاران (۱۳۹۷) انجام شد دگرشیبی زاویدار در مرز بین این دو عضو وجود داشته و واحد بی‌آب از لایه‌های سرخ بالایی جدا و به پلیوسن نسبت داده شده است. حضور گنبد نمکی (کوه نمک) در باخترا منطقه نیز از دیگر عوارض زمین‌شناسی منطقه مورد مطالعه می‌باشد (شکل ۱). حضور این توده نمکی در نزدیکی گسل‌های منطقه سبب شوری آب برخی از چشممه‌های موجود در منطقه، از جمله چشممه پلاروان شده است. بازالت‌های جوان متعلق به کواترنر همراه با آبرفت‌های سازنده تراست‌ها قدیمی‌تر، تراورتن و آبرفت‌های جوان (در دشت‌ها و بستر رودخانه‌ها) از جوان‌ترین سنگ‌ها و رسوبات منطقه می‌باشند. چشممه‌های آب گرم و تراورتن‌ساز در منطقه فعال هستند، بنابراین نهشته‌های تراورتنی را می‌توان همارز بخش‌های

تراویتونیک واژه‌ای است که به مطالعه این ارتباط می‌پردازد (هنکوک و همکاران، ۱۹۹۹) و نشان می‌دهد که سن نهشته‌های تراورتن می‌تواند شاخصی برای تعیین سن گسل خوردگی در منطقه باشد (هنکوک و همکاران، ۱۹۹۹؛ آلتونل، ۲۰۰۵؛ بروگی و کاپتزولی، ۲۰۰۹). مطالعه پتروگرافی و ژئوشیمی تراورتن پلاروان (خدابخش و همکاران، ۱۳۹۱) و بررسی ویژگی‌های سنگ‌شناسی تراورتن آوج (غضنفری و همکاران، ۱۳۹۴) از مهم‌ترین پژوهش‌های انجام شده در منطقه مورد مطالعه می‌باشد. سیستم رسوب‌گذاری تراورتن محیط ویژه‌ای است که بر پایه ویژگی‌های ظاهری، شیمیایی و بیولوژیکی می‌توان آن را بررسی کرد. پژوهش پیش رو به بررسی‌های میدانی و آزمایشگاهی دو توده تراورتن معدن بی‌آب و نهشته در حال تشکیل پلاروان و دو چشممه تراورتن‌ساز این رسوبات، واقع در دو یال تاقدیس آران (شمال آوج) در شمال‌باخته ایران می‌پردازد. در هر برش به بررسی ویژگی‌های ریخت‌شناسی^۱، سنگ‌شناسی و ژئوشیمیایی تراورتن، نحوه تشکیل و مشخصات هیدرورژئوشیمی آب چشممه‌ها پرداخته شده است. شناخت فاکتورهای اصلی کنترل‌کننده محیطی (گسل و دیرینه تنش^۲، نقش عوامل زیستی و واسطه‌های میکروبی در سیستم رسوب‌گذاری تراورتن، طبقه‌بندی ریخت‌شناسی و لیتوتاپ نهشته تراورتن و مقایسه این عوامل در دو سوی تاقدیس آران، از اهداف این پژوهش می‌باشد.

جایگاه جغرافیایی و زمین‌شناسی

در این پژوهش دو توده تراورتنی بی‌آب و پلاروان و دو چشممه تراورتن‌ساز مرتبط با این دو توده، در منطقه آوج مورد بررسی قرار می‌گیرد. جایگاه جغرافیایی این دو برش به قرار زیر می‌باشد. معدن بی‌آب در ۱۰ کیلومتری شمال شهرستان آوج و در طول جغرافیایی $49^{\circ} 11' 06''$ و عرض جغرافیایی $35^{\circ} 40' 00''$ قرار دارد. توده تراورتنی پلاروان در ۶ کیلومتری شمال شهر آوج واقع شده است و دارای طول جغرافیایی $11^{\circ} 49' 14''$ و عرض جغرافیایی $37^{\circ} 56' 00''$ می‌باشد (شکل ۱).

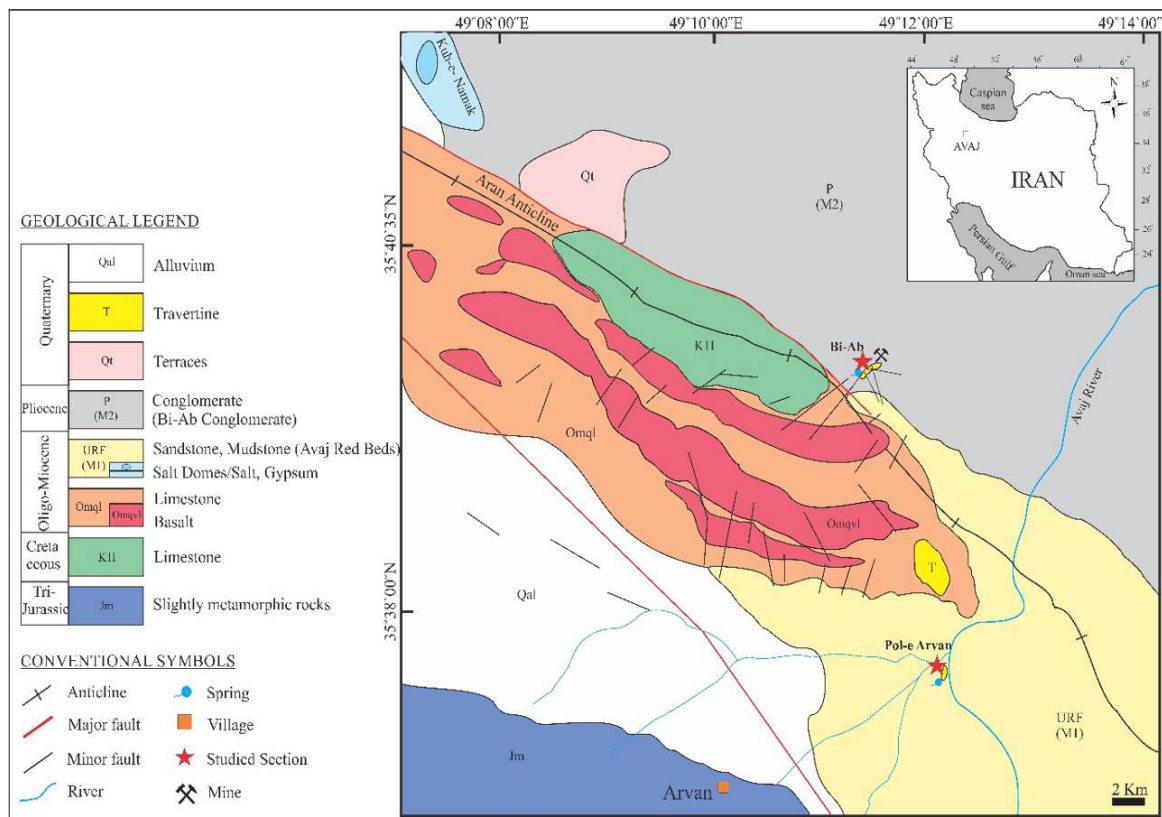
از نظر زمین‌شناسی فلات ایران بخشی از کمریند کوهزاوی آلب- هیمالیا است که بر پایه تاریخچه

¹ Morphology

² Palaeostress

منطقه از واحدهای تراوا تشکیل شده است. واحدهای آهکی کرتاسه به دلیل عملکرد شدید تکتونیکی دارای درز و شکاف زیاد با تراوایی بالا هستند. اشکال کارستی و تشکیل آبخوان در این واحد فراوان دیده می‌شود. رسوبات کواترنری با تراوایی بالا و واحدهای رسوبی سرخ بالایی و کنگلومرای پلیوسن با تراوایی متوجه گسترش زیادی در منطقه دارند (قبادی و همکاران، ۱۳۹۰).

جوان‌تر رسوبات آبرفتی در نظر گرفت (بلورچی، ۱۹۷۹). تراوerten‌های پلاروان و معدن بی‌آب به ترتیب بر روی لایه‌های سرخ بالایی و کنگلومرای پلیوسن قرار دارند (شکل ۱). هیدروژئولوژی واحدهای سنگی به خصوصیات سنگ‌شناسی، فعالیت تکتونیکی، میزان شکستگی و تخلخل ثانویه بستگی دارد. به دلیل عملکرد شدید تکتونیک و شرایط لیتوژئیکی، بخش‌های وسیعی از



شکل ۱. نقشه زمین‌شناسی منطقه مورد مطالعه (با اندکی تغییرات از بلورچی، ۱۹۷۹ و احمدی‌قمی و همکاران، ۱۳۹۷).

سانتی‌متر یک نمونه دستی (مجموعاً ۲۰ نمونه) برداشت گردید. برای مطالعات سنگ‌شناسی و پتروگرافی از نمونه‌های برداشت شده ۲۵ عدد برش نازک تهیه شد. بر پایه بررسی‌های میدانی و پتروگرافی ویژگی‌های میکروسکوپی (لیتوتاپ) و میکروسکوپی (میکروفاسیس) تراوerten‌ها تعیین شد. نمونه‌های میکروسکوپی، به کمک میکروسکوپ پلاریزان نور عبوری Zeiss Axioscope 40 و عکس‌برداری و براساس تقسیم‌بندی پنتکاست (۲۰۰۵) و کلایس (۲۰۱۵) توصیف شد. میزان تخلخل میکروسکوپی نیز در برش نازک به روش چشمی برآورد شد. آزمایش XRD (تعداد ۴ نمونه از تراوerten بی‌آب و ۱ نمونه از

مواد و روش‌ها

بر پایه بررسی‌های میدانی دو برش در معدن بی‌آب (یک برش از توده تراوerten A (ستبرای ۱۹۰ سانتی‌متر) و یک برش از توده تراوerten B (ستبرای ۱۵۰ سانتی‌متر) و یک برش از پلاروان انتخاب و نمونه‌برداری از واحد تراوertenی و آب چشمدهای تراوerten‌ساز صورت گرفت. توده تراوertenی کوچک در منطقه پلاروان در حال تشکیل می‌باشد که ستبرای آن کمتر از ۲۰ سانتی‌متر است. از رسوبات سطحی این توده کوچک نمونه‌برداری صورت گرفت. با توجه به ستبرای واحدهای تراوertenی و تغییرات ظاهری در برش‌های موجود در معدن بی‌آب، حدوداً از هر ۲۰

ریخت‌شناسی نهشته‌های تراورتنی در هر دو منطقه مورد مطالعه از نوع آبشاری می‌باشد (شکل ۲). اگر سطح آب زیرزمینی در ارتفاع و یا در راس دره‌ها باشد، چشم‌هایی برروی شبکه‌های تند به وجود می‌آید. این موضوع موجب نهشته شدن سریع رسوبات تراورتنی و تشکیل نهشته‌های آبشاری می‌شود. با ادامه فرآیند رسوب‌گذاری، سری‌هایی از رخساره تراورتن به طول چندین کیلومتر می‌تواند در امتداد دره ایجاد گردد (پنتکاست و وایلز، ۱۹۹۴). به طور کلی مکان‌های شبکه‌دار محل مناسبی برای تشکیل تراورتن آبشاری هستند و بر اساس نظر پنتکاست (۱۹۹۳) و پدلی (۱۹۹۰) در جایی که شبکه زمین بیش از 10° باشد، ریخت‌شناسی آبشاری تشکیل می‌شود. این رسوبات به شکل توده آبشاری و به صورت لایه‌بندی نیمه افقی در امتداد دره گسترش می‌یابند.

توده آبشاری تراورتن پلاروان در بخش جنوبی تاقدیس آران قرار دارد. طول و عرض آن به ترتیب ۳ متر و ۱ متر است (شکل ۲ الف). بخش‌های فعال توده آبشاری دارای میکروارگانیسم‌ها می‌باشد و مظاهر چشم‌های شکاف گسلی است. معدن بی‌آب در یال شمالی تاقدیس آران قرار دارد که دو توده تراورتن (A) و (B) از نوع آبشاری قابل شناسایی است. چشم‌های تراورتن ساز منطقه تحت تاثیر گسل بوده و گسل‌های اصلی خاستگاه چشم‌های روند خاوری- باختری و شمالی- جنوبی دارد (شکل ۲ ب). محور طولی دو توده آبشاری (A) و (B) در جهت شبکه و مخالف جهت گسل اصلی می‌باشد. این توده‌ها عدسی شکل بوده و ریخت‌شناسی آن‌ها تابع گرگادیان هیدرولیکی است و به سمت پایین دره و با کاهش شبکه، رخساره‌ها دارای لایه‌بندی و کمی شبکه‌دار می‌شوند (شکل ۲ پ، ت، ث). شواهد ریخت‌زمین‌ساختی نشان می‌دهد که دو توده تراورتن تحت تاثیر گسل‌های فرعی دچار انحراف و جابه‌جایی شده‌اند. توده آبشاری (A)، ۱۲۰ متر طول دارد که به دلیل عملکرد گسل فرعی از نوع امتداد لغز، به سمت خاور چرخیده و خمیدگی در بخش مرکزی توده تراورتنی ایجاد شده است. توده آبشاری (B)، ۱۵۰ متر طول دارد و توسط گسل فرعی با روند خاوری- باختری از توده آبشاری (A) جدا شده است. نسبت طول به عرض دو توده (A) و (B) به ترتیب $\frac{3}{4}$ و $\frac{2}{5}$ است.

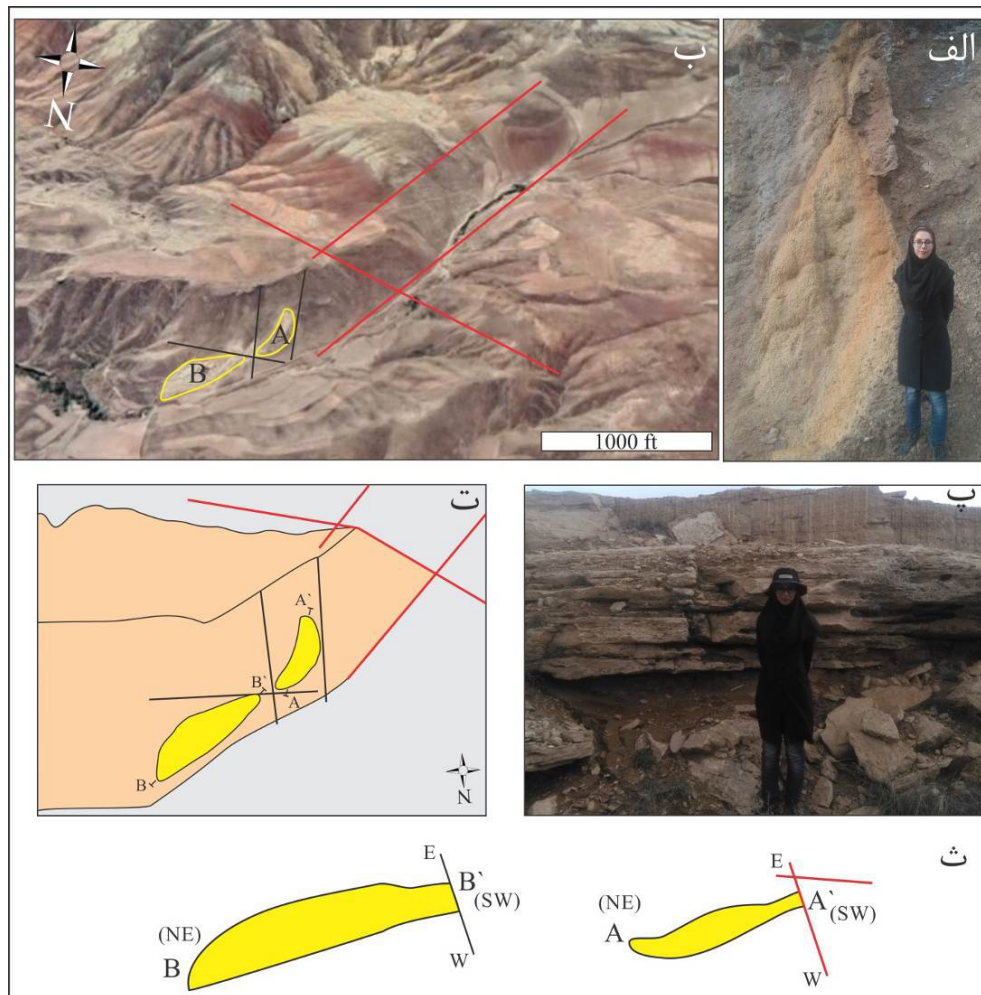
تراورتن پلاروان، برای تعیین انواع کانی‌های همراه موجود و نیز تشخیص نوع کانی کربناتی (کلسیت و آرگونیت) توسط دستگاه Italstructures ($30mA, 40kV$) در دانشگاه بولونی سینا صورت گرفت. به منظور تعیین کانی‌های رسی و مواد آواری در معدن بی‌آب، ابتدا کربنات کلسیم نمونه‌ها توسط اسید استیک حذف گردید و سپس آزمایش XRD انجام شد. برای تعیین ترکیب شیمیایی سنگ تراورتن، آزمایش ICP-OES بر روی تعداد ۱۵ نمونه از تراورتن بی‌آب و ۱ نمونه از تراورتن Perkin Elmer Optima 5300 DV در شرکت زرآزما تهران انجام شد. تعداد ۸ نمونه تراورتنی از تراورتن بی‌آب توسط میکروسکوپ الکترونی SEM- (JEOL JSM 840) در دانشگاه بولونی سینا مورد تصویربرداری و آزمایش نقطه‌ای نیمه کمی قرار گرفت. برای تعیین مقدار کربنات کلسیم (و مواد غیرکربناتی)، ۲۳ نمونه به روش تیتراسیون (کارور، ۱۹۷۱) کربنات‌سنجدی شدند. از چشم‌های فعال تراورتن ساز موجود در هر منطقه دو نمونه آب در اوخر بهار (پایان سال آبی) و اوایل پاییز (شروع سال آبی بعدی) برداشت شد. متغیرهای میدانی شامل دما، pH و هدایت الکتریکی در محل اندازه‌گیری شد. غلظت آنیون‌ها و کاتیون‌های آب در مدت کمتر از ۲۴ ساعت از زمان نمونه‌برداری در شرکت تجزیه شیمی راک همدان اندازه‌گیری شد.

یافته‌ها و بحث

از سه معیار اصلی موفولوژی، فابریک و ژئوشیمی برای مطالعه و طبقه‌بندی تراورتن استفاده گردید که در ادامه هر بخش به طور جداگانه مورد بررسی قرار می‌گیرد.

ریخت‌شناسی تراورتن

ریخت‌شناسی رسوبات تراورتنی در مقیاس ماکروسکوپی و در بررسی‌های میدانی مورد بررسی قرار می‌گیرد. محل تقاطع گسل‌ها مکان مناسبی برای ظهور چشم‌های می‌باشد و بسیاری از تراورتن‌ها در نزدیکی محل چشم‌های نهشته می‌شوند، بنابراین نهشته تراورتن نشان‌دهنده راس گسل فعال است (تمیز و ساواس، ۲۰۱۵). ریخت‌شناسی تراورتن در منطقه مورد مطالعه توسط دو فاکتور توپوگرافی و محل ساختاری چشم‌های تراورتن ساز تعیین می‌شود. بر پایه تقسیم‌بندی پنتکاست و وایلز (۱۹۹۴)



شکل ۲. (الف) ریخت‌شناسی آبشاری رسوبات تراورتن در منطقه پلاروان؛ (ب) تصویر ماهواره‌ای منطقه‌ی آب که توده تراورتنی (A) و (B)، گسل‌های اصلی (خطهای سرخ) و فرعی (خطوط سیاه) در آن مشخص شده است؛ (پ) لایه‌بندی رسوبات تراورتن در بخش انتهایی توده تراورتن آبشاری؛ (ت) نمای شماتیک تراورتن آبشاری در معدن بی‌آب؛ (ث) برش طولی از توده آبشاری تراورتن (A) و (B) که نسبت به گسل‌های منطقه ترسیم شده است.

تراورتن لامینه‌ای^۲: لامیناسیون مهم‌ترین ویژگی ظاهری در نهشته‌های تراورتن است. لامیناسیون‌ها نتیجه تغییرات فصلی و روزانه رسوب‌گذاری در ارتباط با فعالیت‌های زیستی و اقلیمی می‌باشند. آن‌ها بر اساس تغییر در رنگ، تخلخل و اندازه آلوم کم قابل شناسایی هستند و به دو نوع صفحه‌ای و موجی تقسیم می‌شوند (پنتکاست، ۱۹۹۵ و ۲۰۰۵). گرچه هر دو نوع لامیناسیون در منطقه بی‌آب و پلاروان قابل شناسایی است، اما لامیناسیون صفحه‌ای هم در نمونه دستی و هم در برش میکروسکوپی منطقه مورد مطالعه به وضوح مشاهده می‌شود. در شکل ۳ الف و ب لایه‌های تراورتن

لیتوتاپ تراورتن^۱

رسوب‌گذاری تراورتن تحت تاثیر شرایط خاص محیطی صورت می‌گیرد. رخسارهای تراورتن را می‌توان بر پایه ویژگی‌های فیزیکی، شیمیایی و بیولوژیکی مورد بررسی قرار داد (پنتکاست، ۲۰۰۵). لیتوتاپ‌ها بر مبنای ویژگی‌های ظاهری مانند رنگ، لایه‌بندی، لامیناسیون و حضور فسیل در نمونه دستی یا دیوارهای معدن (سینه‌کار معدن) مشخص می‌شوند (تاکر و همکاران، ۲۰۱۵). با بررسی میدانی در سینه‌کار معدن و نمونه دستی تراورتن‌های منطقه مورد مطالعه، ۴ لیتوتاپ شناسایی شد.

² Laminated travertine

¹ Travertine lithotype

سریع کردنات در ستون آب دارای حباب‌های گازی است. حباب‌های گازی از به دام افتادن هوا در جریان آب می‌تواند تشکیل شود (پنتکاست، ۲۰۰۵) اما خاستگاه اصلی این گازها فعالیت میکروبی در رسوبات زیرین است (گوا و رایدینگ، ۱۹۹۸). این لیتوتاپ در هر دو منطقه وجود دارد اما حداکثر ستبرای آن در منطقه بی‌آب و با ستبرای ۵۰ سانتی‌متر مشاهده شده است (شکل ۳ الف، پ). این لیتوتاپ در ارتباط با لیتوتاپ تراورتن نی مانند می‌باشد و در بخش بالایی و مرکزی توده تراورتنی قرار دارد. شکل حباب‌ها کروی تا بیضوی و با اندازه چند میلی‌متر می‌باشد. این حباب‌ها در منطقه بی‌آب تحت تاثیر انحلال دیاژنزی قرار گرفته و حفرات بزرگ (تا ۴ سانتی‌متر) را تشکیل داده‌اند (شکل ۳ت).

بر پایه تغییر رنگ (حتی تغییر مقدار تخلخل) به صورت موازی و باستیرای ۲ متر در منطقه بی‌آب مشخص شده است. رنگ لایه‌ها از قهوه‌ای روشن تا کرم تغییر می‌کند. لایه‌های تیره مواد آلی بیشتری دارند که نشان از حضور میکروارگانیسم‌ها می‌باشد.

تراورتن با حباب پوشش‌دار^۱: منافذ کروی، نیمه کروی و استوانه‌ای موجود بر سطح تراورتن را می‌توان به ایجاد حباب‌های گازی پوشش‌دار در ارتباط با اجزای گیاهی یا لیتوتاپ نی مانند^۲ نسبت داد (تاکر و همکاران، ۲۰۱۵). این منافذ به نام حباب‌های سنگی شده^۳ و یا سنگ کف^۴ نیز شناخته می‌شوند (گوا و رایدینگ، ۱۹۹۸؛ جونز و ریناوت، ۲۰۱۰). لیتوتاپ تراورتن با حباب‌های پوشش‌دار در تراورتن متداول بوده و نتیجه رسوب‌گذاری



شکل ۳. الف) لیتوتاپ‌های مشاهده شده بر روی دیواره معدن تراورتن بی‌آب؛ ب) لیتوتاپ تراورتن لامینه‌ای از نمای نزدیک که لامیناسیون ایجاد شده بر پایه تغییر رنگ می‌باشد؛ پ) نمونه دستی از لیتوتاپ تراورتن دارای حباب پوشش‌دار در ارتباط با لیتوتاپ نی مانند؛ ت) لیتوتاپ تراورتن دارای حباب پوشش‌دار که در نتیجه انحلال دیاژنزی حباب پوشش‌دار از بین رفته و حفرات بزرگ تشکیل شده است (طول مقیاس ۱۴ cm).

¹ Coated bubble travertine

² Reed travertine

³ Lithified bubble

⁴ Foam rock

نسبتاً سریع، خروج CO_2 ناشی از آشفتگی و رخساره‌های sloping یافت می‌شود (ارتال و همکاران، ۲۰۱۷؛ کلایتس و همکاران، ۲۰۱۷) و در ارتباط با میکروارگانیسم‌ها می‌باشد (چیفتس و فولک، ۱۹۸۴). اندازه و شکل درختواره‌ها متفاوت است و با افزایش سرعت جريان آب، فعالیت میکروبی کاهش و درختواره‌های کوچک‌تری تشکیل می‌شود. لیتوتاپ تراورتن درختواره‌ای را در منطقه پلاروان می‌توان مشاهده کرد. هر درختواره دارای چند شاخه است که از یک نقطه منشعب می‌شود و شاخه‌های فرعی عمدهاً وجود ندارد. این لیتوتاپ غنی از مواد آلی است و درختواره‌ها ممکن است میکریتی و یا اسپاریتی باشند. طول درختواره به ارتفاع آب بستگی دارد (کلایتس و همکاران، ۲۰۱۷) و در منطقه پلاروان از یک تا ۵ میلی‌متر متغیر است که نشان از ارتفاع کم آب و نهشت سریع کلسیت است. حداکثر ستبرای لیتوتاپ تراورتن درختواره‌ای در منطقه، ۳ سانتی‌متر می‌باشد (شکل ۴).

فابریک تراورتن (میکروفاسیس)

مهم‌ترین مولفه‌های بافتی در تراورتن شامل میکریت، اسپاریت و آلوکم می‌باشد. واژه میکریت اغلب برای کلسیت‌های ریزبلور با قطر $> 5 \mu m$ بکار می‌رود. بلورهایی با اندازه μm ۵-۳۵ و $< 35 \mu m$ به ترتیب میکرواسپار و ماکرواسپار (اسپاریت) نامیده می‌شود (پنتکاست، ۲۰۰۵). میکریت تیره‌رنگ و غنی از مواد آلی است و زمینه اصلی بسیاری از سنگ‌های آهکی به ویژه تراورتن بوده و فابریک غالب در منطقه می‌باشد؛ در حالی که اسپاریت اغلب در نتیجه فرایند دیاژنزی سیمانی شدن ایجاد می‌شود و رنگ روشنی دارد (شکل ۵ الف). سیمان اسپاری پرکننده منافذ، شکستگی‌ها و تخلخل‌های موجود در تراورتن است. مطالعات میکروسکوپی و تصاویر SEM بررسی فابریک تراورتن در منطقه مورد استفاده قرار گرفت. شایان ذکر است که فابریک‌های مشابه ممکن است در لیتوتاپ‌های مختلف قرار بگیرند.

میکریت (دانه‌های پوشش‌دار^۶): این فابریک با توجه به نوع آلوکم‌های موجود در زمینه میکریتی نام‌گذاری می‌شود و میزان تخلخل بر پایه اندازه ذرات متغیر است.

تراورتن گیاهی^۱: این لیتوتاپ تخلخل قالبی فراوانی دارد و بر پایه نقش و فعالیتهای باکتریایی، جلبکی و گیاهی در شکل‌گیری تراورتن و حضور آن‌ها در رسوبات تراورتن نام‌گذاری می‌شود (کلایس و همکاران، ۲۰۱۵). این لیتوتاپ همان رخساره سنگی^۲ توفا بوده که با نام بیوفابریک نیز شناخته می‌شود (یانسن و همکاران، ۱۹۹۹، پنتکاست، ۲۰۰۵). بر پایه نوع گیاهان شرکت‌کننده در رسوب تراورتن، انواع مختلفی از تراورتن گیاهی وجود دارد (تاکر و همکاران، ۲۰۱۵، کلایس و همکاران، ۲۰۱۵). لیتوتاپ تراورتن گیاهی علفی^۳ در منطقه پلاروان و لیتوتاپ‌های تراورتن گیاهی نی مانند^۴ و تراورتن گیاهی علفی در منطقه بی‌آب شناسایی شد. لیتوتاپ تراورتن گیاهی علفی تجمعی از گیاهان با حداکثر ستبرای ۱۵ سانتی‌متر در منطقه بی‌آب بوده و قالب‌های میکریتی تا اسپاریتی در اطراف ساقه و ریشه گیاهان تشکیل شده است (شکل ۴ الف، ب). لیتوتاپ تراورتن گیاهی نی مانند با مجموعه‌ای از نی و یا قالب‌های نی که به صورت عمودی و جهت‌دار در کنار یکدیگر قرار گرفته و گاهی توسط حباب‌های پوشش‌دار به هم متصل می‌شوند، قابل شناسایی می‌باشد. ستبرای این لیتوتاپ در منطقه بی‌آب ۱۰ سانتی‌متر بوده و دارای تخلخل قالبی و پناهگاهی در مقیاس بزرگ است (شکل ۴ الف، پ).

تراورتن درختواره‌ای (درختچه‌ای)^۵: تعادل بین سرعت رشد میکروبی و سرعت رسوب‌گذاری کلسیت، انواع مختلفی از لیتوتاپ درختچه‌ای را تشکیل می‌دهد. هر یک از انواع لیتوتاپ درختچه‌ای معکس‌کننده میزان مشارکت عوامل محیطی (سرعت جريان آب، تبخیر، رسوب‌گذاری غیرزیستی کانی‌ها) و فعالیت میکروبی هستند (چیفتس و فولک، ۱۹۸۴؛ ارتال و همکاران، ۲۰۱۷). لیتوتاپ تراورتن درختواره‌ای یکی از انواع لیتوتاپ درختچه‌ای است که به صورت شاخه منشعب یا همان درختواره است که در مقیاس ماکروسکوپی قابل شناسایی می‌باشد. این لیتوتاپ اغلب در شرایط جریانی انرژی بالا تا متوسط و در مکان‌هایی با رسوب‌گذاری

¹ Phyto travertine

² Lithofacies

³ Grass phyto travertine

⁴ Reed phyto travertine

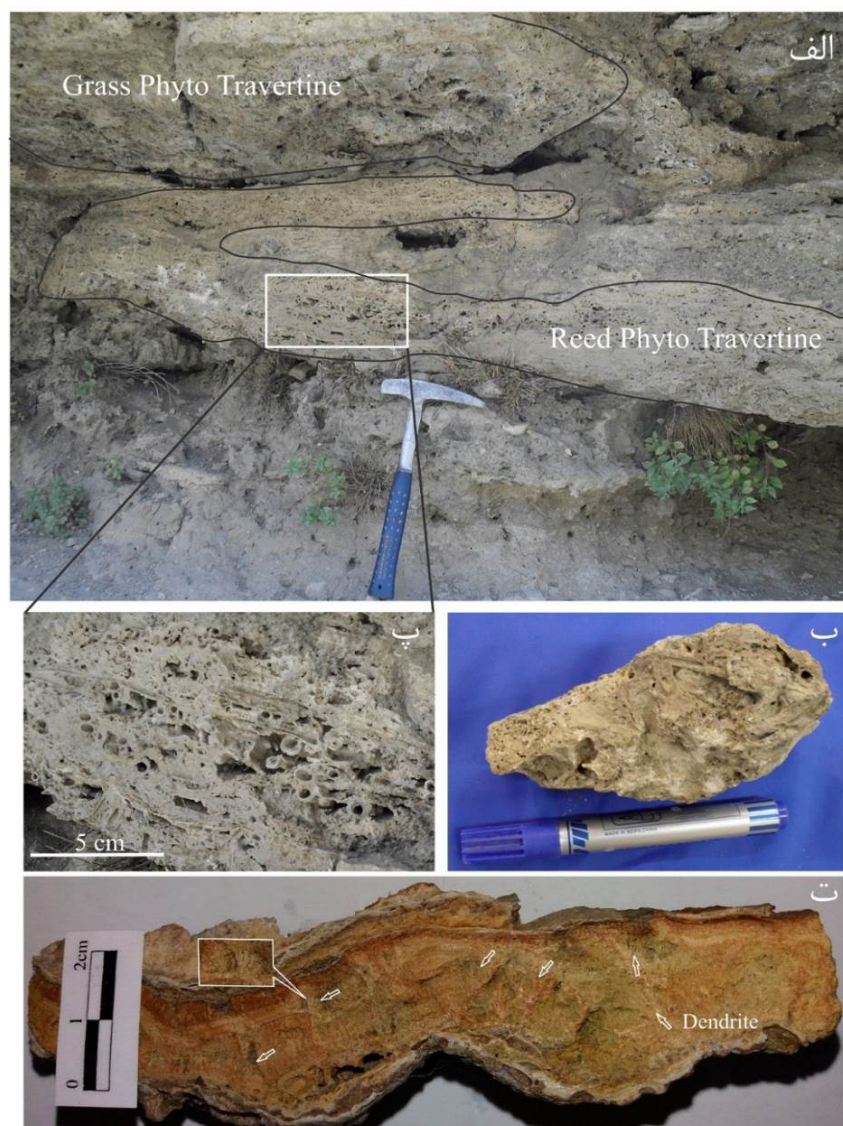
⁵ Dendrite (Shrub) travertine

حضور دارند مرتبط با میکروارگانیسم‌ها می‌باشند (ارتال و همکاران، ۲۰۱۷).

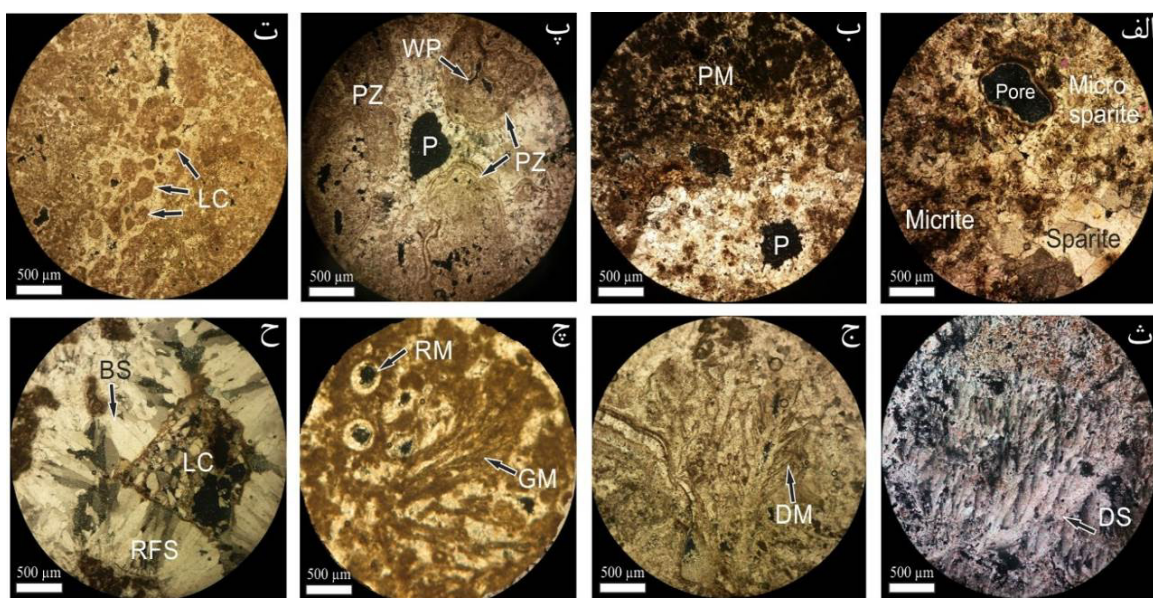
میکریت پیزوفیدی: آلوکم موجود در این فابریک، پیزوفید (گاهی جلبک‌ها) است که در زمینه میکریتی و یا میکرواسپاری قرار گرفته است. این فابریک تخلخل کمی دارد و اغلب از نوع درون‌دانه‌ای می‌باشد (شکل ۵ پ و ۶ ب). این فابریک در چشممه‌های اشعاع و تغذیه شده از آبهای قاره‌ای تشکیل می‌شود (ارتال و همکاران، ۲۰۱۷).

تخلخل ممکن است توسط ماتریکس یا سیمان پر شود و مقدار آن کاهش یابد. در منطقه مورد مطالعه نمونه‌های میکروسکوپی دارای ذرات پلوئید، پیزوفید و مقدار کمی ذرات لیتوکلستی می‌باشند (شکل ۵ ب، پ، ت).

میکریت پلوئیدی: ذرات پلوئیدی در زمینه میکریتی یا میکرواسپاری قرار دارد. در این فابریک تخلخل روزنه‌ای، کانالی و بین ذرات پلوئیدی حضور دارد. ساختار لخته‌ای حاصل تجمع پلوئیدها بوده و در بعضی از برش‌های نازک دیده می‌شود (شکل ۵ ب و ۶ الف). پلوئیدهایی که در فضای بین درختواره‌ها در لیتوتاپ تراورتن درختواره‌ای



شکل ۴. (الف) لیتوتاپ تراورتن گیاهی نی مانند در بخش زیرین و مجموعه‌ای از گیاهان و نی در بخش بالایی (رخساره توفا) در منطقه بی‌آب؛ (ب) کلسیتی شدن گیاهان و ارگانیسم‌ها و تشکیل لیتوتاپ تراورتن گیاهی علفی (رخساره توفا) در منطقه بی‌آب؛ (پ) لیتوتاپ تراورتن گیاهی نی مانند از نمای نزدیک که تخلخل پناهگاهی به وجود در خواره (پیکان) در لیتوتاپ تراورتن درختواره‌ای منطقه پل اروان (طول درختواره‌ها حداقل ۵ میلی‌متر می‌باشد و لامیناسیون موجی در نمونه مشاهده می‌شود).



شکل ۵. تصویر میکروسکوپی از فابریک‌های منطقه مورد مطالعه. (الف) تفاوت در اندازه و رنگ میکریت، میکرواسپار و اسپارایت در معدن پلاروان. (P: تخلخل؛ ب) فابریک پلوفید میکریت (PM) که تجمع پلوفیدها بافت لخته‌ای را در برش ایجاد کرده است (معدن بی آب؛ پ) فابریک پیزوئید میکریتی (PZ) از نوع جلبک می‌باشد و دارای تخلخل درون‌دانه‌ای (WP) می‌باشد (معدن بی آب؛ ت) فابریک لیتوکلستی (LC) که شامل قطعات لیتوکلستی کربناته در مرکز برش می‌باشد (معدن بی آب؛ چ) فابریک میکریت گیاهی در معدن بی آب. (ج) درختواره میکرواسپاری (DM) در معدن بی آب که با لایه‌های میکریتی احاطه شده است؛ (ج) فابریک گیاهی در معدن بی آب. قالب‌های نی (RM) توسط اسپار پر شده است. طول گیاهان میکریتی (GM) بیش از $500 \mu\text{m}$ می‌باشد؛ (ح) فابریک کریستالین که در نتیجه فرایند دیاژنزی تشکیل شده است. بلورهای کلستی به صورت فیبری-شعاعی (BS) و تیغه‌ای (RFS) و قرار گرفته‌اند. لیتوکلست تراورتن (LC) به صورت مجموعه‌ای از قطعات کوچک‌تر کلستی در زمینه اسپارایتی مشاهده می‌شود (معدن بی آب).

شناسایی می‌باشند اما طول درختواره میکریتی در نمونه‌های میکروسکوپی مورد مطالعه حدود $800 \mu\text{m}$ است. تخلخل درون درختواره و یا بین درختواره‌ها است و پلوفید میکریتی ممکن است در بین شاخه‌های درختواره‌ای وجود داشته باشد. تبخیر و خروج CO_2 در سرعت جریان بالا موجب رسوب‌گذاری تراورتن می‌شود. در این شرایط ساختار و فعلیت زیستی فابریک درختواره‌ای را در نهشت تراورتن ایجاد می‌کند (کلایتس و همکاران، ۲۰۱۷).

میکریت گیاهی^۲: این فابریک در لیتوتاپ تراورتن گیاهی نی مانند، تراورتن گیاهی علفی و یا همان رخساره سنگی توفا قرار می‌گیرد. قطعات آواری و کلستهای در فضای بین گیاهان می‌توانند به دام افتاده باشند (شکل ۶ ت). تخلخل فراوان از نوع تخلخل قالبی و پناهگاهی از ویژگی‌های این فابریک است به طوری که تخلخل در نمونه ماکروسکوپی نیز به راحتی قابل شناسایی می‌باشد. تخلخل قالبی حاصل از بین رفتن گیاهان (نی) می‌باشد.

لیتوکلاست^۱ اسپارایت (میکریت): این فابریک اگر در مقیاس ماکروسکوپی قابل مشاهده باشد لیتوتاپ تراورتن لیتوکلستی نامیده می‌شود. قطعات لیتوکلستی اغلب در زمینه میکریتی قرار می‌گیرند. شکل ۵ ت یک نمونه از فابریک لیتوکلستی در منطقه بی آب را نشان می‌دهد. در این فابریک قطعات کربناته (تراورتن) در زمینه میکرواسپارایتی قرار گرفته است.

میکریت درختواره‌ای (اسپارایت): درختواره ممکن است میکریتی و یا اسپارایتی باشد که هر دو نوع آن در برش‌های مورد مطالعه مشاهده شد (شکل ۵ ث، چ). درختواره‌ها اغلب توسط لایه‌های میکرواسپار یا اسپارایتی احاطه شده‌اند. لایه‌های میکرواسپاریتی می‌توانند در اثر فعلیت میکروبی ایجاد شده باشند (کلایتس و همکاران، ۲۰۱۷)، به طوری که اسید تشکیل شده توسط میکروب‌ها موجب انحلال کربنات و تشکیل میکرواسپاریت می‌شود (ارتال و همکاران، ۲۰۱۷). درختواره‌ها در مقیاس ماکروسکوپی به وضوح قابل

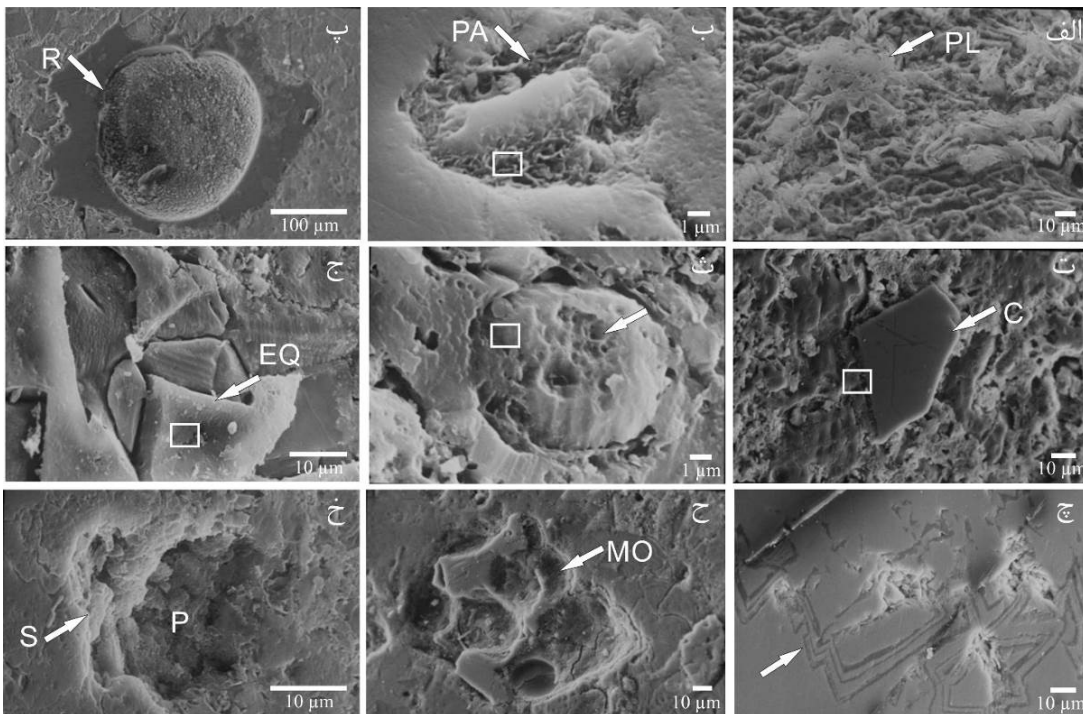
² Phyto micrite

¹ Lithoclast

متبلور را ایجاد کند. تصاویر SEM اندازه، شکل، گیاهان و ارگانیسم‌های موجود در تراوerten، تداخل احتمالی بلورهای کلسیت و نخودی پرشدن تخلخل در فابریک‌ها را به خوبی نشان می‌دهد. نمونه مشخصی از تشکیل بلور یوهدرال کلسیت در نمونه SEM دیده می‌شود (شکل ۶). سیالات به دام افتاده توسط ارگانیسم‌ها، موجب تشکیل بلور کلسیت شده است. الگوی زون‌بندی شده در کلسیت فیبری به صورت لامینه‌های رشدی در منطقه بی‌آب قابل شناسایی است (شکل ۶ج). این الگو نشان از تغییرات دوره‌ای ترکیب آب نهشت کربنات است که معمولاً در چشم‌های تراوerten امروزی ثبت می‌شود (کیتانو، ۱۹۶۳؛ سانتانا و همکاران، ۲۰۰۴). حضور مواد آواری و کلسیت در نمونه‌های مورد مطالعه را می‌توان توسط آزمایش نیمه کمی EDX اثبات کرد (شکل ۷).

(شکل ۶ج) و با میکریت غنی از مواد آلی و یا اسپارایت پر شده است. در بعضی از برش‌های نازک، گیاهان در زمینه شبیه به درختواره می‌باشند به طوری که می‌توانند علاوه بر فابریک میکریت گیاهی، در فابریک درختواره میکریتی نیز قرار بگیرند (شکل ۵ج).

متبلور: این فابریک به صورت کاملاً کریستالی، متراکم و سفیدرنگ دیده می‌شود و در توالی با لایه‌های میکریتی، لامیناسیون تراوerten را تشکیل می‌دهد. بلورهای فیبری تا تیغه‌ای کلسیت در بخش‌های متبلور ممکن است به صورت لایه‌ای، شعاعی و یا درختواره‌ای قرار گرفته باشند. این فابریک قادر تخلخل بوده یا تخلخل بسیار کمی دارد (شکل ۵ج و ۶ج). سیمانی شدن که مهم‌ترین فرایند دیاژنزی در تراوerten می‌باشد (پنتکاست، ۱۹۹۴ و ۲۰۰۵)، ممکن است در ذرات، فضاهای خالی و یا ماتریکس ایجاد و موجب تغییر فابریک اولیه تراوerten شده و فابریک

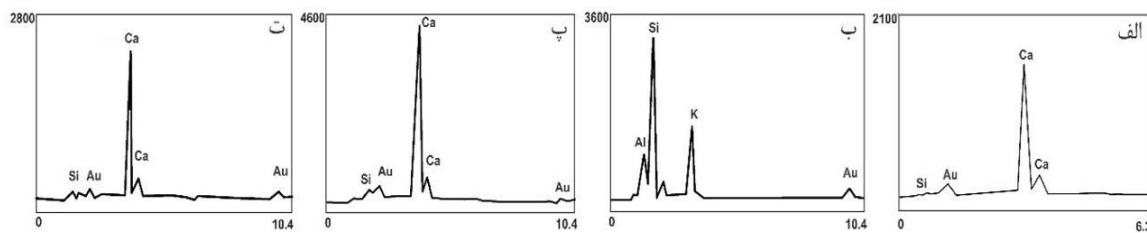


شکل ۶. تصاویر میکروسکوپ الکترونی از فابریک‌های موجود در تراوerten معدن بی‌آب. **الف)** پلوئیدها (PL) (بافت لخته‌ای) در فابریک میکریت پیزوفنیتی؛ **ب)** رشته‌های جلبکی (PA) در فابریک میکریت پیزوفنیتی؛ **پ)** آثار نی (R) پرشده با کلسیت میکریتی در فابریک میکریت گیاهی نی مانند؛ **ت)** تشکیل بلور یوهدرال کلسیت (C) در ارتباط با فعالیت ارگانیسم‌ها (فابریک میکریت گیاهی؛ **ث)** اتحلال بافت گیاهی (پیکان) در فابریک میکریت گیاهی علفی؛ **ج)** بلورهای کلسیت هم‌بعد (EQ) در فابریک کریستالین؛ **ج)** لامینه‌های رشدی کلسیت اسپارایت (پیکان) در فابریک کریستالین؛ **ح)** تشکیل تخلخل قالبی (MO) بر اثر اتحلال میکرووارگانیسم‌ها؛ **خ)** کاهش فضای خالی (P) به دلیل پرشدنگی تخلخل با اسپارایت (S). (چهارگوش‌ها محل آزمایش EDX را نشان می‌دهد).

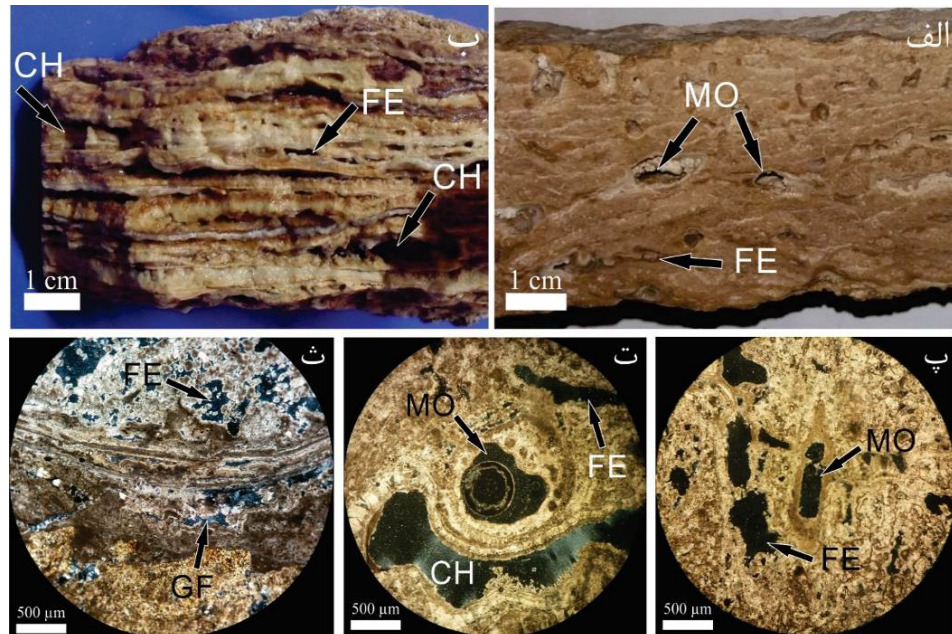
دومین و مهم‌ترین پدیده دیاژنزی در تراورتون، سیمانی شدن است (پنتکاست، ۱۹۹۴ و ۲۰۰۵). سیمانی شدن در سنگ‌های کربناته یک فرایند پس از رسوب‌گذاری و ثانویه است و در سنگ تراورتون می‌تواند از اجزا تشکیل‌دهنده تراورتون باشد (کلایتس و همکاران، ۲۰۱۵). اندازه و شکل سیمان‌های مشاهده شده در منطقه مورد مطالعه بسیار متغیر می‌باشد. غالب‌ترین سیمان‌ها در معدن بی‌آب شامل سیمان تیغه‌ای، دروزی، هم‌بعد و میکریتی است که عمدتاً از نوع کلسیت پرمیزیم می‌باشند. سیمان خوش‌ای مهم‌ترین سیمان منطقه می‌باشد. سیمان خوش‌ای در توده تراورتون در حال تشکیل دیده می‌شود و شاهدی برای اثبات آرگونیت در منطقه است (شکل ۹).

دیاژنز

لایه‌های غنی از مواد آلی مستعد پوسیدگی بوده و منجر به ایجاد منافذی در رسوبات می‌شوند. در نتیجه این پوسیدگی، اسیدهای آلی تشکیل و احلال بعدی در رسوبات ایجاد می‌شود (چیفتس و فولک، ۱۹۸۴). احلال و از بین رفتن گیاهان و ارگانیسم‌های همراه با تراورتون اولین فرایند دیاژنسی در تراورتون‌های منطقه مورد مطالعه است. این فرایند موجب تشکیل حفره‌های انحلالی و تخلخل ثانویه می‌شود و تغییرات شیمیایی آب را نیز موجب می‌گردد. تخلخل در مقیاس میکروسکوپی و ماکروسکوپی قابل شناسایی است. تخلخل در منطقه بی‌آب متغیر و بیشتر از نوع قالبی و روزنه‌ای است. در منطقه پلاروان تخلخل بیش از ۲۵ درصد است و از نوع روزنه‌ای، رشدی و کانالی می‌باشد (شکل ۸، جدول ۱).



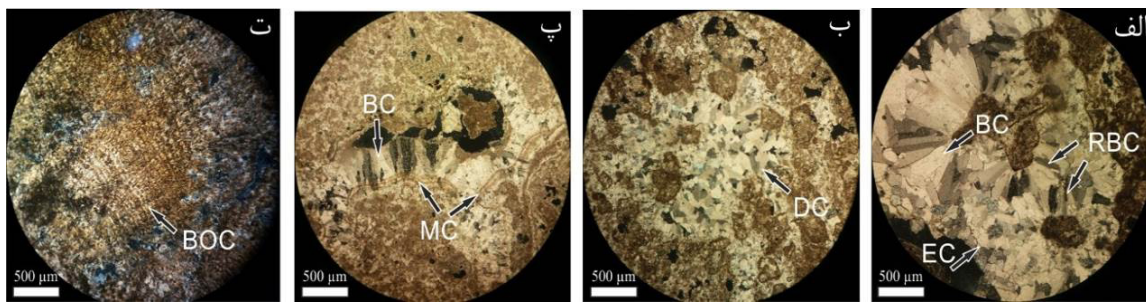
شکل ۷. آزمایش نیمه کمی عنصری (EDX) چهار نمونه تراورتون منطقه بی‌آب بر پایه شکل ۶. (الف) رشتہ جلبکی (تصویر عب؛ ب) کانی فلدسپات (تصویر عت؛ پ) بافت گیاهی (تصویر عث) بلورهای کلسیت (تصویر عج).



شکل ۸. انواع تخلخل در منطقه مورد مطالعه. (الف) تخلخل ماکروسکوپی قالبی (FE) و روزنه‌ای (MO) در منطقه بی‌آب؛ (ب) تخلخل ماکروسکوپی روزنه‌ای (FE) و کانالی (CH) در منطقه پلاروان؛ (پ، ت) تخلخل میکروسکوپی قالبی (MO)، روزنه‌ای (FE) و کانالی (CH) در منطقه بی‌آب؛ (ث) تخلخل میکروسکوپی رشدی (GF) و روزنه‌ای (FE) در منطقه پلاروان.

جدول ۱. میزان تخلخل میکروسکوپی نمونه‌ها بر حسب درصد (BiAb (A) توodeh A بی‌آب، BiAb (B) توodeh B بی‌آب)

<u>Bi Ab (A)</u>											
Sample	BA1	BA2	BA3	BA4	BA5	BA6	BA7	BA8	BA9	BA10	BA11
Porosity	12	7	5	10	4	7	5	6	10	15	10
<u>Bi Ab (B)</u>											
Sample	BB1	BB2	BB3	BB4	BB5	BB6	BB7	BB8	BB9	AR	Aryan
Porosity	15	15	6	10	15	5	15	7	7	25	



شکل ۹. فراوان‌ترین سیمان‌ها در منطقه مورد مطالعه. الف) سیمان‌های تیغه‌ای-شعاعی (BC)، تیغه‌ای (RBC) و هم‌بعد (EC) که در منطقه بی‌آب از غالب‌ترین سیمان‌ها می‌باشند؛ ب) سیمان دروزی (DC) در منطقه بی‌آب؛ پ) سیمان میکریتی (MC) و سیمان تیغه‌ای (BC) در منطقه بی‌آب؛ ت) سیمان خوش‌های (BOC) در نهشته‌های تازه کربناته در منطقه پلارون که نشان از حضور آرگونیت در رسوبات تراورتن است.

تراورتن‌های معدن بی‌آب حضور دارند (شکل ۱۰، پ، ت). وجود کانی‌های مختلف در تراورتن را می‌توان به سنگ‌های قدیمی‌تر و زمین‌شناسی منطقه نسبت داد.

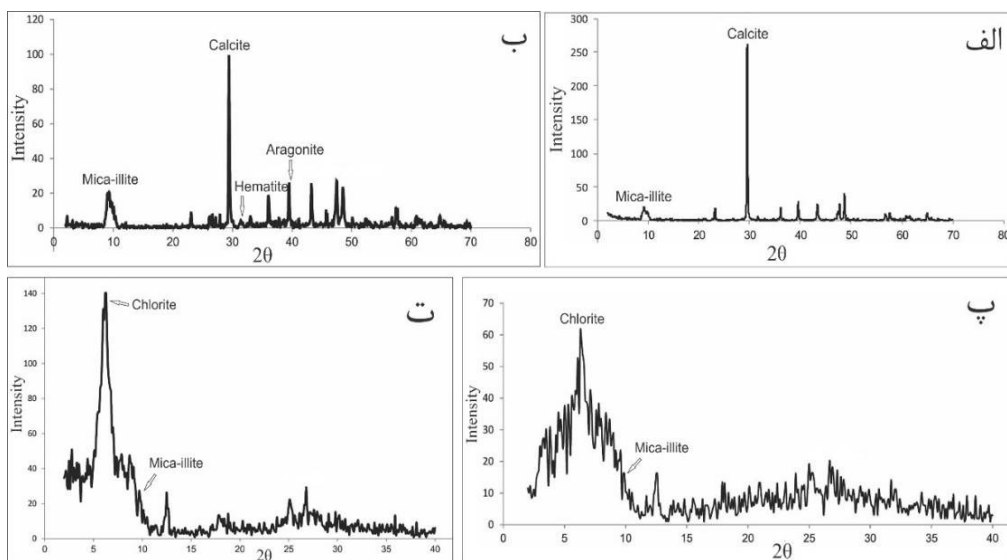
کربنات‌سنگی

نمونه‌های تراورتنی منطقه بی‌آب و پلارون خالص نبوده و علاوه بر کربنات کلسیم دارای مقداری مواد آواری مانند کانی‌های رسی، هماتیت و حتی کوارتز می‌باشند. به منظور بررسی تغییرات میزان کربنات کلسیم در برش‌های مورد مطالعه، مقدار کربنات موجود در نمونه‌های تراورتنی اندازه‌گیری شد که درصد کربنات نمونه‌های تراورتن در جدول ۲ آورده شده است. مقدار کربنات کلسیم در همهٔ نمونه‌ها بیش از ۷۰٪ است و با تعريف پنتکاست (۲۰۰۵) از سنگ‌آهک‌ها که بیش از ۵۰٪ وزن خشک آن کربنات کلسیم است، مطابقت دارد. بر پایه داده‌های کربنات‌سنگی سه لایه را در رسوبات تراورتنی معدن بی‌آب می‌توان مشخص کرد. ابتدای هر لایه مقدار کلسیم کمتری دارد که به دلیل تاثیر عوامل مختلف محیطی (مانند حضور مواد آواری) در رسوب‌گذاری کربنات کلسیم است. میزان کربنات کلسیم منطقه بی‌آب متغیر است و در محدود ۷۰٪-۹۵٪ قرار دارد. این موضوع به خاستگاه و تیپ آب تراورتن‌ساز بستگی دارد و

کانی‌شناسی
کربنات کلسیم کانی اصلی تشکیل‌دهنده تراورتن‌های این منطقه است. علاوه بر مطالعه میکروسکوپی، آزمایش XRD نیز برای شناسایی کانی‌های همراه تراورتن در این پژوهش مورد استفاده قرار گرفت. یافته‌های حاصل از آزمایش XRD نمونه‌ها نشان داد که کربنات کلسیم موجود در تراورتن معدن بی‌آب کلسیت بوده اما در منطقه پلارون کانی‌های کلسیت و آرگونیت همراه با هم مشاهده می‌شوند (شکل ۱۰، الف، ب). این موضوع می‌تواند به دلیل تفاوت در شوری آب چشمeh، تغییرات فصلی و یا جوان‌تر بودن توodeh تراورتنی (خدابخش و همکاران، ۱۳۹۱)، در منطقه پلارون (در حال تشکیل) نسبت به منطقه بی‌آب باشد. از سوی دیگر حضور گیاهان در منطقه بی‌آب موجب رسوب‌گذاری سریع کربنات کلسیم و تشکیل کانی کلسیت (زیستی) در منطقه شده است. کانی‌های رسی (ایلیت و کلریت) و هماتیت از کانی‌های همراه با کلسیت در تراورتن پلارون می‌باشد (شکل ۱۰، ب). این کانی‌ها به صورت محصولات ناشی از فرسایش یا هوازدگی سنگ‌های منطقه و حاصل حمل ذرات آواری در آب هستند که در زمان نهشته شدن وارد تراورتن شده‌اند. بعد از حذف کربنات کلسیم، یافته‌های آزمایش XRD نشان داد که کانی‌های ایلیت و کلریت در

فراوانی مواد آواری، خردسنج‌های آتشفسانی، فلدسپات و کوارتز موجود در نمونه‌های معدن بی‌آب که خاستگاه آن‌ها از سنگ‌های قرار گرفته در زیر توده تراورتی است، دلیلی دیگر بر کم بودن میزان درصد خلوص کربنات کلسیم در این نمونه‌ها می‌باشد.

نشان‌دهنده عبور آب زیرزمینی از سنگ‌شناسی‌های مختلف، تشکیل تیپ‌های مختلف آب و در نهایت رسوب تراورتن از تیپ آب مختلط می‌باشد. همچنین در آب‌های شور با مقدار سدیم بالا، جانشینی سدیم به جای کلسیم در رخساره‌های رسوبی موجب کاهش میزان کربنات کلسیم می‌شود (ماری و ونگوش، ۲۰۰۱؛ کلاتیر، ۲۰۰۴).



شکل ۱۰. آزمایش XRD نمونه‌های تراورتن منطقه مورد مطالعه. (الف) کلسیت کانی اصلی تراورتن در معدن بی‌آب است؛ (ب) کربنات کلسیم از نوع کلسیت و آراغونیت در تراورتن منطقه پل اروان و حضور کانی‌های هماتیت و کانی رسی همراه با کلسیت؛ (پ، ت) کانی‌های موجود در تراورتن بعد از حذف کلسیت (تراورتن معدن بی‌آب).

جدول ۲. درصد کربنات کلسیم در نمونه‌های تراورتن منطقه مورد مطالعه. مقادیر کربنات دو برش به تفکیک از یکدیگر و از پایین به بالای هر برش مرتب شده‌اند.

Sample (BiAb (A))	Carbonate (%)	Sample (BiAb (B))	Carbonate (%)	Sample (Arvan)	Carbonate (%)
BA1	79.8	BB1	79.6	AR	88.7
BA2	85.8	BB2	86.6		
BA3	88.1	BB3	85.4		
BA4	79.8	BB4	95.6		
BA5	81.2	BB5	84.3		
BA6	90	BB6	70.8		
BA7	86.6	BB7	81.9		
BA8	77	BB8	85.4		
BA9	94.3	BB9	77.1		
BA10	81.8	-	-		
BA11	88.7	-	-		
MAX	90	MAX	95.6		
MIN	77	MIN	70.8		
MEAN	83.9	MEAN	83		
S.D.	4.5	S.D.*	6.9		

S.D.: standard deviation

که یافته‌های آن در جدول ۳ نشان داده شده است. با توجه به یافته‌های ژئوشیمیایی، مقادیر کلسیم بیشتر از ۵ درصد بوده (حد تفکیک دستگاه) و عنصر اصلی در تراورتن منطقه می‌باشد. عناصر فرعی منیزیم، استرانسیم، پاتاسیم، آهن و منگنز هستند که بیشترین میزان آن‌ها در منطقه پلاروان مشاهده شده است.

ژئوشیمی تراورتن

نهشته‌های تراورتنی از لایه‌هایی با مقادیر متغیر کربنات کلسیم تشکیل شده‌اند که از نظر ژئوشیمی تحت تاثیر فرایندهای شیمیایی، فیزیکی، بیولوژیکی و شیمی آب چشممه‌های تراورتن‌ساز می‌باشند. عناصر اصلی و فرعی ۱۶ نمونه تراورتنی توسط آزمایش *ICP-OES* انجام شد

جدول ۳. یافته‌های آزمایش شیمیایی (*ICP-OES*) منطقه مورد مطالعه. غلظت *Ca* بر حسب (%)، سایر عناصر بر حسب (mg/kg) می‌باشد.

	<i>Element</i>	<i>Ca</i>	<i>Mg</i>	<i>Na</i>	<i>K</i>	<i>Sr</i>	<i>Fe</i>	<i>Al</i>	<i>Cu</i>	<i>Mn</i>	<i>Ni</i>
<i>Section</i>	<i>D.L.</i>	100	100	100	100	2	100	100	1	5	1
<i>BiAb1</i>	<i>BA1</i>	>10%	3511	787	572	1624	1427	2289	4	33	9
	<i>BA2</i>	>10%	4139	871	919	1635	2369	3895	4	54	9
	<i>BA5</i>	>10%	3721	625	227	1872	679	1192	4	20	6
	<i>BA6</i>	>10%	3948	741	347	1901	857	1282	5	20	5
	<i>BA8</i>	>10%	3794	667	318	1949	641	903	4	30	9
	<i>BA9</i>	>10%	2956	583	237	1681	591	868	4	17	5
	<i>BA10</i>	>10%	2918	589	196	1501	667	718	3	21	6
	<i>BA11</i>	>10%	2568	577	113	1623	1786	460	5	23	15
	<i>MAX</i>		4139	871	919	1949	2369	3895	5	54	15
	<i>MIN</i>		2568	577	113	1501	591	460	3	17	5
	<i>MEAN</i>		3521.6	680	366.1	1723.2	1127.1	1450.9	4.1	27.3	8
	<i>S.D.</i>		563.5	109	261.8	161.9	662.8	1129.5	0.6	12.1	3.3
<i>BiAb2</i>	<i>BB1</i>	>10%	3474	880	800	1560	2879	3497	10	68	9
	<i>BB2</i>	>10%	2803	667	146	1673	499	503	3	14	10
	<i>BB3</i>	>10%	2937	803	385	1680	943	1427	3	19	5
	<i>BB4</i>	>10%	2868	621	130	1640	374	442	3	10	6
	<i>BB6</i>	>10%	2814	704	422	1555	974	1579	5	24	7
	<i>BB8</i>	>10%	4148	1209	1165	1666	3246	4854	6	75	9
	<i>BB9</i>	>10%	4283	1270	1321	1607	3480	5863	8	80	8
	<i>MAX</i>		4283	1270	1321	1680	3480	5863	10	80	10
	<i>MIN</i>		2803	621	130	1555	374	442	3	10	5
	<i>MEAN</i>		3332.4	879.1	624.1	1625.9	1770.7	2595	5.4	41.4	7.7
	<i>S.D.</i>		646.8	261.3	479.6	52.7	1367.1	2160.4	2.8	31.3	1.8
<i>Arvan</i>	<i>AR</i>	>10%	4698	7221	1232	2937	8125	3122	9	215	62

S.D.: standard deviation, *D.L.*: detection limit

معدن بی‌آب و نیز حضور سیمان‌های تیغه‌ای و میکریتی در منطقه که نشان از نهشته شدن کلسیت پرمینیزیم می‌باشد، دلیلی دیگر بر افزایش مقدار منیزیم در تراورتن‌های منطقه می‌باشد. خاستگاه آب چشمه تراورتن‌ساز نیز بر روی مقدار منیزیم تاثیر می‌گذارد. مقدار این عنصر در آب‌های شیرین به ندرت از mmol/L ۱۰ تجاوز می‌کند، به جز در مواردی که آب تحت تاثیر تبخیری‌ها قرار گرفته باشد (پنتکاست، ۲۰۰۵). مقدار

منیزیم: مقدار منیزیم در تراورتن به عوامل مختلفی بستگی دارد. بالا بودن میزان منیزیم در تراورتن‌های معدن بی‌آب و منطقه پلاروان بیشتر تحت تاثیر حضور جلبک‌ها و سیانوبکتری‌ها است که عمدتاً از نوع کلسیت منیزیم‌دار می‌باشند (شکل ۱۱ الف). غلظت زیاد منیزیم و رسوب‌گذاری سریع توسط ارگانیسم‌ها موجب تشکیل آرagonیت می‌شود (پنتکاست، ۲۰۰۵). حضور آرagonیت به همراه کلسیت در منطقه پلاروان وجود کانی کلریت در

سدیم و پتاسیم: فلزات قلیایی ممکن است جانشین کلسیم در کانی کلسیت شوند. در آب‌های متئوریکی این فلزات تمرکز کمی دارند بنابراین در سنگ‌های کربناته که تحت تاثیر فرآیند دیاژنتیکی هستند مقدار این فلزات پایین است (پنتکاست، ۲۰۰۵). با مقایسه مقدار سدیم و کلسیم (حاصل از کربنات‌سنگی) در نمونه‌های معدن بی‌آب مشخص شد که نمونه‌های BA8 و BB6 که کمترین مقدار کلسیم را دارند دارای سدیم بالایی هستند. این موضوع می‌تواند نشان از نهشته شدن کربنات کلسیم از تیپ آب مختلط (بی‌کربنات و کلرور (شور) و جانشینی سدیم به جای کلسیم در آب‌های شور و با رخساره غالب سدیک باشد (ماری و ونگوش، ۲۰۰۱؛ کلاتیر، ۲۰۰۴). مقدار بسیار زیاد سدیم در تراوerten منطقه پلاروان (7221 ppm) نیز نشان‌دهنده‌ی عبور آب چشمی تراوerten ساز از گبهه‌های نمکی مدفون (و یا دارای رخمنون) در منطقه و نهشته شدن رسوب تراوerten از آب شور می‌باشد. مقدار پتاسیم در منطقه پلاروان و تعدادی از نمونه‌های معدن بی‌آب (BA2, BB8, BB9) زیاد می‌باشد که به حضور مواد آواری به ویژه ایلیت در نمونه‌ها می‌توان نسبت داد. همچنین با افزایش مواد آواری و مقدار پتاسیم در نمونه‌ها (BB8, BB9)، درصد کربنات کلسیم کاهش یافته است. مقدار سدیم و پتاسیم دو منطقه در شکل (۱۱ ج و د) نشان داده شده است.

آهن و منگنز: آهن و منگنز توسط آب چشمی در امتداد گسل حمل می‌شوند اما به طور جداگانه رسوب می‌کنند. آب‌های زیرزمینی و جوی در هنگام عبور از واحدهای سنگی منطقه، آهن را با خود حمل کرده و در سطح زمین با صورت ناخالصی تهشین می‌کنند. در واقع تراوerten به صورت ناخالصی تهشین می‌کنند. این موضوع بیشترین آهن موجود در تراوerten بر جا بوده و در نتیجه تماس آب چشمی با جو زمین، آهن محلول (فرو) به آهن فریک غیر محلول (مانند هماتیت و لیمونیت) تبدیل می‌شود. تجمع بیولوژیکی و فعالیت زیست توده دلیل دیگر بر مقادیر زیاد آهن است که می‌تواند به طور مستقیم (جذب متابولیکی برای تولید انرژی) و یا غیر مستقیم (جذب و تغییرات میکرو-محیطی) باشد (کاسانوا و همکاران، ۱۹۹۹). در جایی که نهشته‌های تراوerten با مواد ارگانیکی تمرکز یافته‌اند، آهن ممکن است

منیزیم در منطقه پلاروان بیشتر از منطقه بی‌آب است، بنابراین خاستگاه آب‌شور برای رسوبات تراوerten در منطقه مورد مطالعه و نیز افزایش مقدار منیزیم به دلیل افزایش شوری آب در منطقه پلاروان محتمل است.

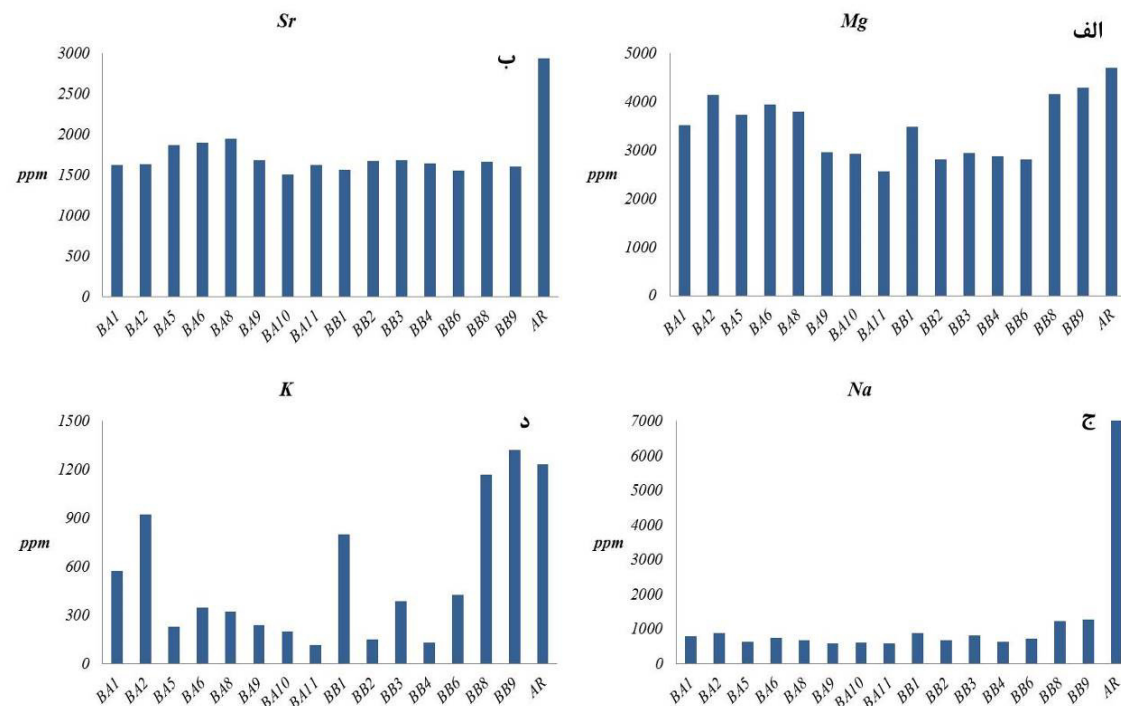
استرانسیم: مقدار استرانسیم در آراغونیت از کلسیت است. تغییر آراغونیت به کلسیت به علت چرخش آب‌های متئوریکی و فرایند دیاژنزی، منجر به تهشینی کلسیت با درصد استرانسیم پایین‌تر می‌شود (وایزره، ۱۹۸۳؛ پنتکاست، ۲۰۰۵). حضور ارگانیسم‌ها، فعال بودن چشمیه‌های تراوerten ساز و رسوب آراغونیت در منطقه پلاروان موجب افزایش میانگین مقدار استرانسیم در این منطقه (2937 ppm) شده است. میانگین مقدار استرانسیم در معدن بی‌آب نیز بالا بوده و به بیش از 1700 ppm رسید (شکل ۱۱ ب). بعضی از ارگانیسم‌های تراوerten ساز در شرایط آب شور فعالیت می‌کنند به طوری که با افزایش شوری فعالیت ارگانیسم‌ها و سرعت رسوب‌گذاری تراوerten و در نهایت مقدار استرانسیم افزایش می‌یابد (پنتکاست، ۲۰۰۵). به همین دلیل مقدار زیاد استرانسیم در تراوerten‌های منطقه پلاروان را می‌توان به شوری زیاد آب چشمی پلاروان نیز نسبت داد.

تراوerten منطقه بی‌آب از نوع کلسیت زیستی است و بیشتر تحت تاثیر گیاهان و ارگانیسم‌ها تشکیل شده است. میانگین سرعت رسوب‌گذاری کلسیت زیستی بسیار بالا ($1500 \mu\text{mol/m}^2\text{h}$) است (کارپنتر و لومان، ۱۹۹۲)، بنابراین مقدار زیاد استرانسیم در منطقه بی‌آب نتیجه دخالت ارگانیسم‌ها و گیاهان در رسوب کربنات کلسیم و افزایش سرعت رسوب‌گذاری کلسیت است. مقدار استرانسیم در منطقه بی‌آب از $1949-1501 \text{ ppm}$ متغیر است که این موضوع علاوه بر تاثیر فرایندهای رسوب‌گذاری و دیاژنسی، می‌تواند به دلیل اختلاط و یا تغییر تیپ آب چشمی تراوerten ساز در منطقه (سانتان و همکاران، ۲۰۰۴) و کاهش شوری آب باشد.

از عوامل کنترل‌کننده دیگر در مقدار استرانسیم می‌توان به تخلخل اشاره کرد (سیپریانی، ۱۹۷۷). این موضوع در تراوerten منطقه پلاروان که بیشترین مقدار تخلخل (2937 ppm) و استرانسیم (2937 ppm) را دارد، به وضوح قابل مشاهده است.

رنگ تراورتن‌ها با مقدار آهن ارتباط مستقیمی دارد. تشکیل کانی‌های آهن همراه با نهشت تراورتن و حضور هیدروکسید و اکسیدهای آهن در فرایند سیمانی شدن، موجب رنگین شدن لایه‌های تراورتن می‌شود. بیشترین مقدار آهن در منطقه پلاروان مشاهده شده که تراورتن آن رنگ نارنجی تا قهوه‌ای دارد، اما تراورتن‌های معدن بی‌آب در هر دو برش نمونه‌برداری شده آهن کمتری (میانگین حدود 1700 ppm) نسبت به پلاروان (1100 ppm) دارد و کرم رنگ تا قهوه‌ای روش است.

احیا شود و در زمان دیاژنز وارد کلسیت شود. منگنز نیز در شرایط اکسیدان جانشین کلسیم می‌شود (پنتکاست، ۲۰۰۵). بیشترین میزان آهن در معدن بی‌آب و پلاروان به ترتیب 3480 ppm و 8125 ppm است. باکتری‌ها می‌توانند شروع کننده و یا حداقل تاثیر مثبت و نقش کاتالیزوری بر نهشت کانی‌ها داشته باشند (کاسانوا و همکاران، ۱۹۹۹) و مقدار زیاد آهن در تراورتن‌های منطقه پلاروان را می‌توان به دلیل حضور کانی هماتیت دانست که خاستگاه آن سنگ‌شناسی و زمین‌شناسی منطقه و تحت تاثیر فعالیت‌های باکتریایی می‌باشد.



شکل ۱۱. (الف) دامنه تغییرات منیزیم در تراورتن‌های منطقه پلاروان (BA, BB) و بی‌آب (AR). (ب) بیشترین میزان منیزیم در منطقه پلاروان دیده شده است که به دلیل حضور ارگانیسم‌ها و آرگانوئیت می‌باشد. وجود ارگانیسم و مواد آواری در تعدادی از نمونه‌های تراورتن بی‌آب (BA2, BA6) موجب افزایش مقدار منیزیم شده است. (ج) نمودار میله‌ای استراتیسیم در منطقه پلاروان (AR) و بی‌آب (BA, BB) (بیشترین میزان در منطقه پلاروان دیده می‌شود). (د) نمودار میله‌ای مورد مطالعه (بیشترین مقدار در پلاروان دیده شده است؛ د) نمودار میله‌ای پتانسیم در منطقه پلاروان (AR) و بی‌آب (BA, BB).

در هر دو چشمکه کلسیم است و بر پایه نمودار پایپر، نمونه آب چشممه‌های پلاروان و بی‌آب از نوع کلورکلسیک می‌باشد. در بخش لوزی نمودار پایپر، نمونه آب منطقه بی‌آب در قسمت بدون تیپ غالب بوده و حدواتسط آبهای شور و بی‌کربنات (منطقه اختلاط) قرار می‌گیرد. در این نوع از آبهای هیچ زوج آنیون- کاتیونی غالب

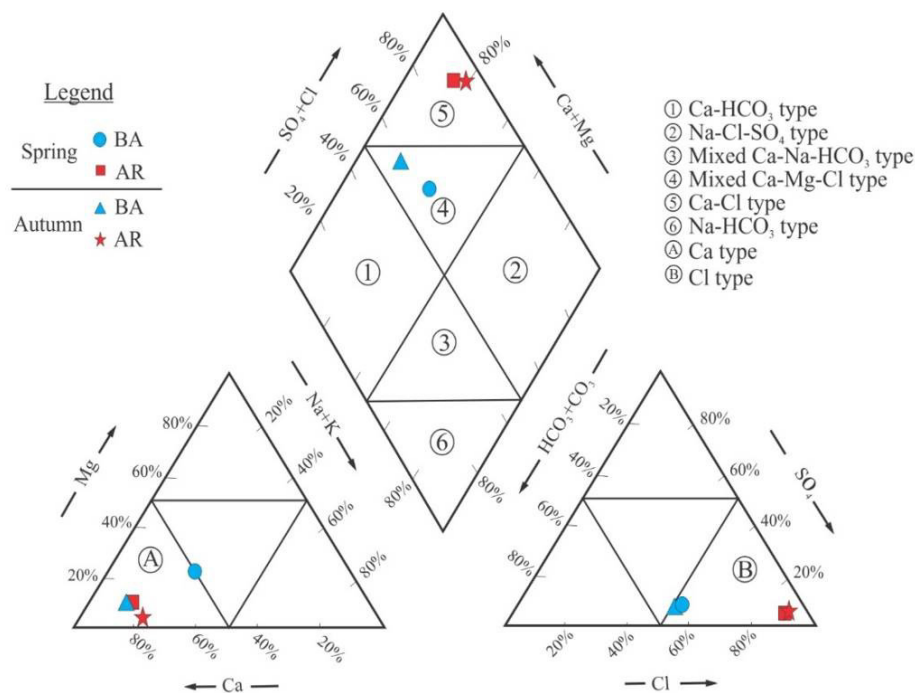
هیدروژئوشیمی
در جدول ۴ آزمایش هیدروژئوشیمیایی به همراه متغیرهای میدانی اندازه‌گیری شده، ارائه شده است. با استفاده از نمودار پایپر می‌توان تیپ آب و تبادل یونی و نیز مسیر تکامل هیدروژئوشیمیایی منابع آب یک منطقه را مورد مطالعه قرار داد (هانسلو، ۱۹۹۵). رخساره غالب

که این موضوع می‌تواند نشان‌دهنده‌ی اختلاط آب و تحت تأثیر قرار گرفتن آب خاستگاه با آب‌های سطحی در منطقه‌ی آب باشد. در منطقه‌ی پلاروان نیز مقادیر زیاد یون‌ها، افزایش یون‌های سدیم و کلراید و کاهش کلسیم در فصل پاییز، احتمال ارتباط آب چشمیه تراویرن‌ساز با تبخیری‌ها و گنبند نمکی را افزایش می‌دهد.

نمی‌باشد (شکل ۱۲). در منطقه‌ی مورد مطالعه مقدار آنیون‌ها در نمونه‌های برداشتی دو فصل بهار و پاییز، تغییر چشمگیری را نشان نمی‌دهند، در حالی که مقدار کاتیون‌ها (به ویژه یون Ca در منطقه‌ی آب) در نمونه برداشتی فصل پاییز افزایش یافته است. تغییرات یونی در منطقه‌ی پلاروان اندک و در منطقه‌ی آب بسیار زیاد است.

جدول ۴. داده‌های آزمایش ژئوشیمیایی آب مناطق مورد مطالعه در فصل‌های بهار و پاییز (سال ۱۳۹۶). (داده‌های یونی و TDS بر حسب EC ، $(\mu\text{s}/\text{cm})$ و دما بر حسب $(^{\circ}\text{C})$ می‌باشد).

	<i>Spring</i>		<i>Autumn</i>	
	<i>BiAb</i>	<i>Arvan</i>	<i>BiAb</i>	<i>Arvan</i>
Mg^{2+}	43.15	208.4	27.1	30.6
Ca^{2+}	48.96	856.8	171	742
K^{+}	8.68	83.48	76.7	78.1
Na^{+}	84	644.7	79.4	663.7
Cl^{-}	212.7	16840	205	17371
CO_3^{2-}	0	0	0	0
HCO_3^{-}	360	3050	570	3260
SO_4^{2-}	75.3	2196	114.8	2276
<i>Temp.</i>	23	35	23	35
<i>pH</i>	6.81	7.04	6.68	7.25
<i>EC</i>	1495	4330	1783	44800
<i>Total Hardness</i>	300	3000	540	1860
<i>TDS</i>	971.75	2814.5	1158.95	29120



شکل ۱۲. نمودار پایپر (۱۹۴۴): نوع (تیپ) و رخساره نمونه آب چشممه‌های پلاروان (AR) و بی‌آب (BA) در دو فصل بهار و پاییز (تیپ آب هر دو چشممه از نوع کلرور کلسیک می‌باشد با این تفاوت که در چشممه‌ی آب از تیپ مختلط کلرور کلسیک می‌باشد).

هدایت الکتریکی (EC) با افزایش یون‌های محلول افزایش می‌یابد. انحلال و هوازدگی در واحدهای رسوبی با تراوایی بالا تا متوسط در منطقه موجب افزایش هدایت الکتریکی شده است. آب چشمه پل‌اروان با مقدار سدیم و کلر بیشتر، هدایت الکتریکی زیادتری نسبت به آب چشمه بی‌آب دارد. با بالا رفتن میزان pH غلظت TDS و در پی آن هدایت الکتریکی افزایش می‌یابد. هدایت الکتریکی بالا و میزان کلراید زیاد آب در چشمه‌های کلرور کلسیم به دلیل وجود گنبدهای نمکی مدفعون و دارای رخنمون (نزدیک رostتای سعید آباد، باخته منطقه) در منطقه و تبادل یونی معکوس می‌باشد (شکل ۱۳ ب).

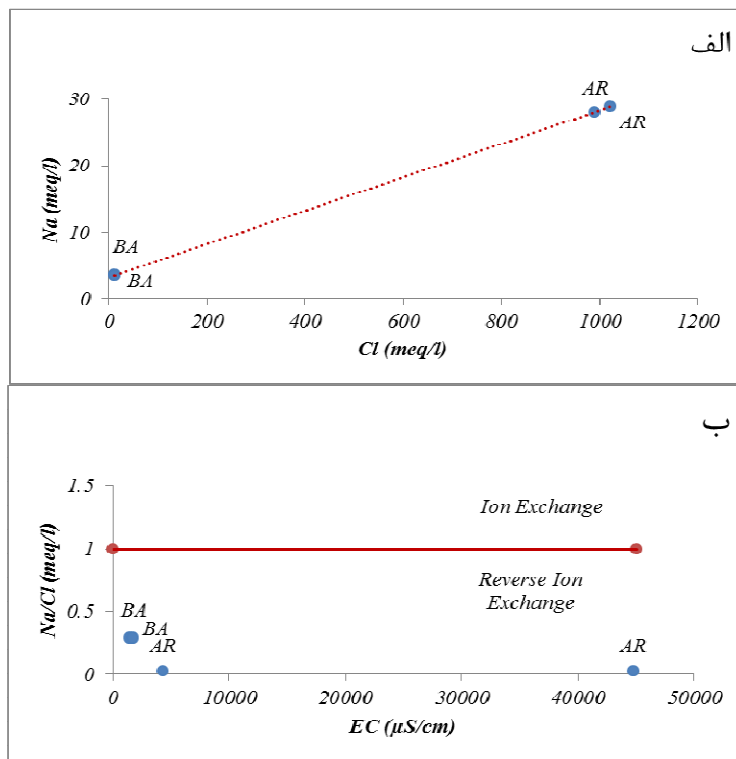
کلسیم و منیزیم: انحلال رسوبات و سنگ‌های آهکی در آب‌های زیرزمینی و غلظت بالای یون کلسیم و منیزیم در آب چشمه به دلیل فشار بالای pH , CO_2 پایین، اختلاط آب‌های جوئی و کاهش دما، واکنش CO_2 با کلسیت و دولومیت می‌باشد (آپلو و پوستما، ۲۰۰۵). غلظت کلسیم در آب چشمه منطقه مورد مطالعه بیشتر از غلظت سولفات است که این موضوع با توجه به نظر گرزل و مکنزی (۱۹۷۱) نشان از میزان هوازدگی و انحلال بیشتر کلسیت (سنگ‌آهک کرتاسه و رسوبات آهکی الیگومیوسن) است.

سختی آب نیز ناشی از غلظت کلسیم و منیزیم است. بر پایه داده‌های هیدروژئوشیمی منطقه مورد مطالعه، سختی آب هر دو چشمه بیش از ۳۰۰ (میلی‌گرم کربنات کلسیم) است که در دسته‌بندی سازمان حفاظت از محیط زیست (EPA^1) از نوع آب سخت و خیلی سخت می‌باشد. سختی زیاد آب نیز دلیل دیگر بر انحلال کانی‌های کربناته می‌باشد. با استفاده از نمودار مولفه‌ای داتا و تاجی (۱۹۹۶) داده‌های آزمایش هیدروژئوشیمی منطقه مورد مطالعه در بالای خط تعادل قرار می‌گیرند که این موضوع نشان‌دهنده هوازدگی کربنات و تبادل یونی معکوس کاتیونی است. در این نمودار داده‌ها هر چقدر به خط تعادل نزدیک‌تر باشند نشان از انحلال همزمان رسوبات تبخیری و کربنات در آب‌های زیرزمینی و تبادل کاتیونی است (شکل ۱۴).

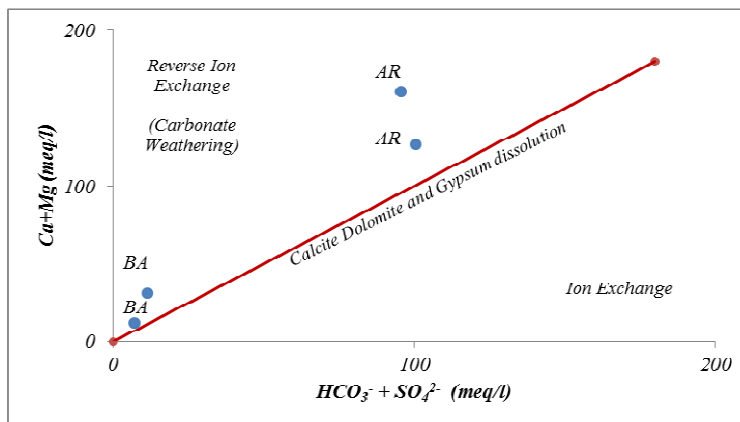
با توجه به گسترش زیاد سازندهایی با تراوایی زیاد (سنگ آهک کرتاسه و رسوبات کواترنری) تا متوسط (لایه‌های رسوبی سرخ بالایی و کنگلومرای پلیوسن)، عملکرد شدید تکتونیکی و حضور آبخوان‌های کارستی در منطقه آوج (قبادی و همکاران، ۱۳۹۰)، آب جوئی به اعمق زمین نفوذ کرده و بر پایه نظر گونای (۲۰۰۶) جهت حرکت آب تابع گرادیان هیدرولیکی حداکثر و الگوی سیستم‌های شکستگی و زمین‌ساختی واحدهای سنگی می‌باشد. غلظت‌های مشابه و همبستگی زیاد بین زوج یون‌های کاتیونی و آنیونی آب چشمه‌های پل‌اروان و بی‌آب نیز نشان می‌دهد که این آب‌ها با سازندهای منطقه در تعامل بوده و ارتباط نزدیکی با تکتونیک فعل منطقه دارند.

سدیم و کلراید: هالیت ($NaCl$) مهم‌ترین خاستگاه برای یون‌های سدیم و کلراید در آب است و وجود همبستگی بالا بین یون‌های سدیم و کلراید می‌تواند بیانگر خاستگاه مشترک این دو یون و انحلال هالیت باشد (میزور، ۲۰۰۴؛ سبا رائو، ۲۰۰۸). ضریب همبستگی بین یون‌های سدیم و کلراید در نمونه‌های آب چشمه‌های مورد مطالعه، نزدیک به یک ($0/999$) است که یک منبع مشترک برای تغییرات این دو یون و انحلال هالیت در منطقه را تأیید می‌کند (شکل ۱۳ الف).

در داده‌های هیدروژئوشیمی آب چشمه‌های پل‌اروان و بی‌آب، غلظت یون کلراید بیش از سدیم است که این موضوع نشان می‌دهد که ترکیب آب از نوع شورابه‌هایی است که در آن تبادل یونی معکوس روی داده است. در این فرایند، یون کلسیم موجود در کانی‌های رسی و واحدهای سنگی کربناته توسط یون سدیم موجود در آب جانشین می‌شود که در این حالت غلظت یون کلراید نسبت به یون سدیم در آب بیشتر می‌گردد. بر پایه نمودار پایپر مقدار زیاد کلراید و افزایش کلسیم دلیلی بر خاستگاه آب شور و تبادل یونی معکوس سدیم آب با کلسیم واحد سنگی کربناته می‌باشد. مجموع مواد جامد محلول (TDS) نمونه‌های مورد مطالعه بیش از (ppm) ۱۰۰۰ است که بر پایه طبقه‌بندی هیم (۱۹۷۰) آب چشمه‌ها از نوع نسبتاً شور می‌باشد. از سوی دیگر با توجه به نظر هانسلو (۱۹۹۵) مقدار TDS اگر بیش از mg/l ۵۰۰ باشد تبادل یونی معکوس در آب‌های منطقه رخ داده است.



شکل ۱۳. (الف) نمودار سدیم در مقابل کلراید برای نمونه‌های آب چشممه پل اروان (AR) و بی آب (BA); (ب) نمودار Na/Cl در مقابل EC در زیر خط $Na/Cl = 1$ قرار دارند که نشان می‌دهد آب چشممه پل اروان (AR) و بی آب (BA) در بخش‌های زیرزمینی دچار تبادل یونی معکوس شده است.



شکل ۱۴. نمودار مولفه‌ای داتا و تاجی (۱۹۹۶) برای داده‌های هیدروژئوشیمی آب چشممه پل اروان (AR) و بی آب (BA). داده‌ها در بالای خط تعادل قرار دارند که نشان از تعویض یونی معکوس در آب است.

فراآنی یون بی‌کربنات در آب چشممه‌ها را می‌توان به مقادیر pH کم آب نسبت داد. بنا به نظر دومینگز-ویلار (۲۰۱۷) و رنجبران و همکاران (۲۰۱۹) غلظت زیاد بی‌کربنات، کلسیم و منیزیم نشان‌دهنده اتحال سنگ آهک در منطقه است.

یون‌های کربنات و بیکربنات: آب‌های زیرزمینی مقدار pH کمتری نسبت به نمونه‌های آب سطحی دارند و یون کربنات تنها در شرایط (بسیار) قلیایی در آب‌های زیرزمینی می‌تواند وجود داشته باشد (واینر، ۲۰۰۷). میزان pH آب در نمونه‌های مورد مطالعه نزدیک به خنثی تا خنثی می‌باشد بنابراین عدم حضور یون کربنات و

کنگلومرایی پلیومن) به سمت چشمہ پلاروان در بخش جنوبی تاقدیس آران (واقع بر روی سازند قم و گنبدهای نمکی و لایه‌های تبخیری) افزایش می‌یابد. حرکت آب تابع الگوی زمین‌ساختی واحدهای سنگی است و با حضور گسل، آب به ژرفای بیشتر نفوذ کرده و شوری آن افزایش یافته؛ بنابراین تیپ آب از نوع بی‌کربناته به سوی آب‌های نوع کلروره تغییر کرده است. در بخش جنوبی تاقدیس آران نیز وجود شکستگی و گسل‌های فراوان و حضور گنبدهای نمکی (در لایه‌های سرخ بالایی) موجب نفوذ آب به ژرفای بیشتر، اختلاط و شوری بیشتر آب شده است. بر پایه بررسی‌های میدانی و نقشه زمین‌شناسی، گنبدهای نمکی رخمنون یافته (نزدیک روستای سعید آباد) در امتداد و نزدیک گسل‌های اصلی منطقه بی‌آب و گنبدهای نمکی مدفون در منطقه می‌تواند موجب تشکیل آب‌های شور (تیپ کلروره) شده باشد. وجود کلسیم به همراه کلراید و راستای داده‌ها در لوزی میانی نمودار پایپر، احتمال حضور و اختلاط دو نوع آب با تیپ بی‌کربناته و کلروره در منطقه بی‌آب را افزایش می‌دهد. ترکیب شیمیایی آب بر روی تراورتن‌های این منطقه نیز تاثیر گذاشته است، به طوری که اختلاط و کاهش شوری آب منطقه بی‌آب موجب کاهش عنصری مانند سدیم، منیزیم و استرائسیم در تراورتن‌های این منطقه نسبت به منطقه پلاروان (با شوری آب بیشتر) شده است.

نتیجه‌گیری

توده تراورتنی و چشممهای تراورتن‌ساز معدن بی‌آب و منطقه پلاروان به ترتیب بر روی سازند کنگلومرایی پلیومن و لایه‌های سرخ بالایی قرار دارند و در ارتباط با گسل‌های منطقه هستند. نهشته شدن تراورتن در این منطقه‌ها را می‌توان به دلیل خروج گاز CO_2 از آب این چشممه‌ها، فوق‌اشباع شدن و تاثیرات زیستی دانست. بر پایه مشاهدات میدانی ریخت‌شناسی نهشته‌های تراورتن در منطقه بی‌آب و پلاروان از نوع آبشاری است. مدل رسوبی توده تراورتن منطقه بی‌آب، نقش گسل در تشکیل چشمہ تراورتن‌ساز، تغییر در رسوب‌گذاری و ریخت‌شناسی تراورتن را به خوبی نشان می‌دهد. محور طولی توده آبشاری در جهت گرادیان هیدرولیکی و مخالف جهت گسل اصلی می‌باشد. ریخت‌شناسی منطقه

تفسیر هیدرورژئوشیمیایی: با مقایسه یافته‌های هیدرورژئوشیمیایی دو چشمہ پلاروان و بی‌آب در دو فصل خشک و تر (پاییز و بهار) تغییر قابل ملاحظه‌ای در تیپ و رخساره آب مشاهده نشد، که این موضوع نشان می‌دهد که آب این مناطق بیشتر تحت تاثیر سنگ‌شناسی و زمین‌شناسی منطقه هستند.

آب چشمہ تراورتن‌ساز می‌تواند خاستگاه هیدرورترمالی یا جوئی (در اثر نفوذ آب‌های جوئی و سطحی در زمین) داشته باشند. آب‌های جوئی در شبکه گسل‌ها و شکستگی‌ها نفوذ می‌کند و پس از مهاجرت و تعامل با سنگ‌های زیرزمینی به عنوان آب‌های گرم زیرزمینی در امتداد گسل‌ها پدید می‌آید. رسوبات تراورتن در حاشیه این شبکه گسلی نهشته می‌شود (الدسوکی و همکاران، ۲۰۱۵؛ کلایتس، ۲۰۱۵). فرایندهای تبخیر، هوازدگی و انحلال سنگ‌ها و تعویض یونی از جمله عواملی هستند که باعث تغییرات فیزیکی و شیمیایی آب می‌شوند. این تغییرات وابسته به شرایط و سنگ‌شناسی منطقه خاستگاه و مسیر عبور آب است (پنتکاست، ۲۰۰۵). شیمی آب ارتباط مستقیمی با دما دارد و میزان رسوب را نسبت به چشمہ کنترل می‌کند و رشد باکتری‌ها، جلبک‌ها و ماکروفیت‌ها را افزایش می‌دهد (گوا و رایدینگ، ۱۹۹۸). سرعت نهشته شدن رسوبات در چشمہ آهکی سرد و گرم سریع است اما این نهشته‌های رسوبی تفاوت‌هایی قابل توجهی دارند. دمای آب در چشممهای آب گرم بیش از $20^{\circ}C$ و معمولاً بین $25\text{--}40^{\circ}C$ است. آب گرم در سرچشمہ سرد می‌شود و دی‌اکسید کربن به سرعت آزاد می‌گردد و رسوب‌گذاری در اطراف مجرای افزایش می‌یابد. خروج دی‌اکسید کربن در چشممهای سرد به آهستگی است به طوری که نهشته شدن کربنات در فاصله کمی از دهانه چشمہ ایجاد می‌شود. دمای پایین و نسبت‌های کم مواد محلول باعث رشد انواع گیاهان مانند خزه‌ها و علف‌ها می‌شود (گوا و رایدینگ، ۱۹۹۸).

آب در تمام نمونه‌های مورد مطالعه، از نوع آب گرم بوده و کاتیون و آنیون غالب به ترتیب کلسیم (از خاستگاه بی‌کربنات) و کلراید (از خاستگاه آب‌شور) است. در منطقه آوج مقدار این دو یون و شوری آب از چشمہ بی‌آب در بخش شمالی تاقدیس آران (واقع بر روی سازند

منطقه پلاروان حضور آب‌های کلروره و شور به دلیل انحلال هالیت از گنبدهای نمکی مدفون در سازند سرخ بالایی می‌باشد. آب هر دو چشمه شور بوده اما شوری آب چشمه پلاروان بیشتر از چشمه بی‌آب است. شوری آب باعث جانشینی یون سدیم آب به جای یون کلسیم در رسوبات تراورتن (تعویض یونی معکوس) شده است که بر پایه آن می‌توان یافته‌های آزمایش ژئوشیمیایی (*ICP-OES*) و کربنات‌سنگی توده تراورتن در مورد افزایش سدیم و کاهش مقدار کلسیم در نمونه‌های رسوبی تراورتن را توجیه کرد. میزان کربنات کلسیم در منطقه بی‌آب متغیر است که نشان‌دهنده عبور آب زیرزمینی از سنگ‌شناسی‌های مختلف، تشکیل تیپ‌های مختلف آب و در نهایت رسوب تراورتن از تیپ آب مختلف می‌باشد.

سپاسگزاری

نگارندهای از دانشگاه بوعلی‌سینا برای تامین هزینه‌های مالی پژوهش و در اختیار گذاشتند امکانات لازم برای انجام این پژوهش سپاسگزاری می‌نمایند.

منابع

- احمدی‌قemi، ف.، رفیعی، ب.، صدر، ا. ح (۱۳۹۷) بازنگری سازند قرمز بالایی به سن میوسن در منطقه آوج-آبگرم، غرب ایران. مجله رسوب‌شناسی کاربردی، دوره ۶ شماره ۴۰-۶۱. ص ۳۱-۴۸.
- خدابخش، س.، رحمانی، س.، محسنی، ح.، کاظمی، ش.، قائمی، ع (۱۳۹۱) پتروگرافی و ژئوشیمی تراورتن‌های کواترنری در برش‌هایی از شمال و غرب ایران. مجله رخسارهای رسوبی، دوره ۶. شماره ۱. ص ۳۱-۴۸.
- غضنفری، پ.، طاهری، م (۱۳۹۴) ریخت‌شناسی و ویژگی‌های سنگ‌شناسی تراورتن آوج، قزوین. نوزدهمین همایش سالانه انجمن زمین‌شناسی ایران و نهمین همایش ملی زمین‌شناسی. دانشگاه پیام نور، تهران.
- قبادی، م. ح.، طالب بیدختی، ع.، مومنی، ع. (۱۳۹۰) نقش لیتولوژی و ساختارهای تکتونیکی در گسترش کارست، تغییر آبدی و کیفیت چشمه‌های کارستی منطقه آبگرم قزوین. مجله انجمن زمین‌شناسی مهندسی ایران. جلد سوم. شماره ۳ و ۴، ص ۱-۱۲.
- Altunel, E (2005) Travertines: neotectonic indicators. In: Ozkul M, Yagiz S, Jones B (eds) Travertine, Proceedings of 1st international

حتی بعد از نهشته شدن نیز تحت تاثیر تنش‌های بعد از رسوب‌گذاری قرار گرفته و باعث تغییر در ریخت‌شناسی رسوبات شده است. تراورتن‌های منطقه در چهار لیتوتاپ تراورتن لامینه‌ای، حباب پوشش دار، گیاهی و درختواره‌ای قرار می‌گیرند. این لیتوتاپ‌ها بیشتر در اثر فعالیت میکروارگانیسم‌ها و حضور گیاهان تشکیل می‌شوند. وجود بلورهای کوچک در لیتوتاپ تراورتن درختواره‌ای، ریخت‌شناسی منظم، حضور میکریت پلوئیدی و ریزتلخلخل^۱ در بخش مرکزی درختواره نشان از خاستگاه میکروبی لیتوتاپ تراورتن درختواره‌ای است. در مقیاس میکروسکوپی، لیتوتاپ‌ها دارای فابریک‌های مشخصی بوده اما فابریک‌های مشابه ممکن است در لیتوتاپ‌های مختلف قرار گیرند. فابریک میکریتی، میکروفاسیس غالب در منطقه است. اسپارایت به صورت اولیه و یا در نتیجه از اجزا تشکیل‌دهنده تراورتن‌های منطقه می‌باشد. سیمانی شدن موجب تغییر فابریک اولیه تراورتن شده و فابریک کریستالین را ایجاد می‌کند. توده تراورتنی منطقه پلاروان جوان و همچنان در حال تشکیل می‌باشد که این امر دلیلی بر حضور آراغونیت به همراه کلسیت در آزمایش *XRD* است. میکروارگانیسم‌ها به عنوان کاتالیزور موجب تشکیل کانی‌ها شده و رسوب‌گذاری کربنات را تسهیل می‌کنند. نقش میکروارگانیسم‌ها در تجمع عنصری و تشکیل کانی‌هایی مانند کلسیت بر پایه تصاویر *SEM* و آزمایش عنصری مشخص گردید. آزمایش ژئوشیمیایی نمونه‌های تراورتن نشان داد که علاوه بر کلسیم، عناصری مانند منیزیم، استرانسیم و آهن مقادیر بالایی را دارند که این موضوع به دلیل فعل بودن چشمۀ تراورتن‌ساز، وجود میکروارگانیسم‌ها و نیز حضور کانی‌های همراه کلسیت مانند هماتیت، ایلیت و کلریت در منطقه می‌باشد. خاستگاه این کانی‌ها از لایه‌های کنگلومرایی و لایه‌های رسوبی واقع در زیر توده تراورتنی منطقه می‌باشد. یافته‌های آزمایش هیدروژئوشیمی، تیپ کلرورکلسیک را برای هر دو چشمه نشان داد. در این آب‌ها کلسیم کاتیونی غالب بوده و از انحلال واحدهای رسوبی کربناته به وجود آمده است. وجود کلسیم به همراه آنیون کلراید و بیکربنات نشان‌دهنده اختلاط دو تیپ آب بی‌کربناته و کلروره در منطقه بی‌آب می‌باشد. در

^۱ Microporosity

- carbonate–sulphate karst system. *Earth surface processes and landforms. Volume 42, Issue 2: 245–258.*
- El Desouky, H., Soete, J., Claes, H., Özkal, M., Vanhaecke, F., Swennen, R.* 2015. Novel applications of fluid inclusions and isotope geochemistry in unravelling the genesis of fossil travertine systems. *Sedimentology*, 62: 27–56.
- Environmental Protection Agency (EPA).* 2001. *Parameters of Water Quality: Interpretation and Standards, Ireland*, 133 p.
- Erthal, M.M., Capezzuoli, E., Macini, A., Claes, H., Soete, J., Swennen, R.* 2017. Shrub morphotypes as indicator for the water flow energy - Tivoli travertine case (Central Italy). *Sedimentary Geology*.347: 79-99.
- Ford, T.D., Pedley, H.M.* 1996. A review of tufa and travertine deposits of the world. *Earth-Science Reviews*, 41: 117–175.
- Garrels R.M., Mackenzie F.T.* 1971. *Evolution of Sedimentary Rocks. 1st. Ed.* Norton, New York, xvi, 397 p.
- Gunay, G.* 2006. Hydrology and hydrogeology of Sakaryabasi Karstic springs, Cifteler, Turkey. *Environ Geology* 51: 229-240.
- Guo, L., Riding, R.* 1998. Hot-spring travertine facies and sequences, late Pleistocene, Rapolano Terme, Italy. *Sedimentology* 45:163–180.
- Hancock, P.L., Chalmers, R.M.L., Altunel, E.C., Akir, Z.* 1999. Travertonics: using travertines in active fault studies. *J Struct Geol* 21:903–916.
- Hem, J.D.* 1970. Study and interpretation of the chemical characteristics natural water. *U.S Geological Survey Water Supply Paper*, 1473.
- Hounslow, A.* 1995. Water quality data: analysis and interpretation, CRC press. 416 p.
- Janssen, A., Swennen, R., Podoor, N., Keppens, E.* 1999. Biological and diagenetic influence in recent and fossil tufa from Belgium. *Sed. Geol.*, 126: 74–95.
- Jones, B., Renaut, R.W.* 2010. Impact of Seasonal Changes on the Formation and Accumulation of Soft Siliceous Sediments on the Discharge Apron of Geysir, Iceland. *Journal of Sedimentary Research* 80 (1): 17–35.
- Kitano, Y.* 1963. Geochemistry of calcareous deposits found in hot springs. *J. Earth Sci. Nagoya Univ.*, 11: 68–100.
- Marie, A., Vengosh A.* 2001. Sources of Salinity in Ground Water from Jericho Area, Jordan Valley. *Ground Water*, 39: 240-248.
- Mazor, E.* 2004. Chemical and Isotopic Groundwater Hydrology, Marcel Dekker Incorporation, New York, 470 p.
- Pedley, H.M.* 1990. Classification and environmental models of cool freshwater tufas. *Sedim. Geol.*, 68: 143–154.
- symposium on travertine, Denizli-TurkeyKozan Ofset, Ankara. 120–127.
- Apello, C.A., Postma, D.* 2005. *Geochemistry, Groundwater and Pollution, 2nd Edition*, A.A. Balkema Publishers, Amsterdam, the Netherlands, 647 p.
- Bolourchi, M.H.* 1979. Explantory text of the Kabudar Ahang quardrangle map, 1:250000, Geol. Surv. Iran, Rep. No. D5.
- Brogi, A., Capezzuoli, E.* 2009. Travertine deposition and faulting: the fault-related travertine fissure-ridge at Terme S. Giovanni, Rapolano Terme (Italy). *Int J Earth Sci Geol Rundsch* 98: 931–947.
- Carpenter, S.J., Lohmann, K.C.* 1992. Sr/Mg ratios of modern marine calcite: empirical indicators of ocean chemistry and precipitation rate. *Geochim. Cosmochim. Acta*, 56: 1817-1849.
- Carver, R.E.* 1971. *Procedures in Sedimentary Petrology*. New York, Wiley, 653 p.
- Casanova, J., Bodénan, F., Négrel, P., Azaroual, M.* 1999. Microbial control on the precipitation of modern ferrihydrite and carbonate deposits from the Ce'zallier hydrothermal springs (Massif Central, France). *Sedimentary Geology* 126: 125–145.
- Chafetz, H., Folk, R.* 1984. Travertines: depositional morphology and the bacterially constructed constituents. *J. Sediment. Pet.* 54 (1): 289-316.
- Cipriani, N., Malesani, P., Vannucci, S.* 1977. Travertine dell'Italia central. *Boll. Serv. Geol. Ital.*, 98: 85-115.
- Claes, H., Soete, J., Van Noten, K., El Desouky, H., Erthal, M.M., Vanhaecke, F., Özkal, M., Swennen, R.* 2015. Sedimentology, three-dimensional geobody reconstruction and carbon dioxide origin of Pleistocene travertine deposits in the Ballık area (south-west Turkey). *Sedimentology* 62: 1408–1445.
- Claes, H., Erthal, M.M., Soete, J., Özkal, M., Swennen, R.* 2017. Shrub and pore type classification: Petrography of travertine shrubs from the Ballık-Belevi area (Denizli, SW Turkey). *Quaternary International* xxx: 1-17.
- Cloutier, V., Lefebvre, R., Therrien, R., Savard, M.M.* 2008. Multivariate statistical analysis of geochemical data as indicative of the hydrogeochemical evolution of groundwater in a sedimentary rock aquifer system. *Journal of Hydrology* 353(3): 294-313.
- Datta, P.S., Tyagi, S.K.* 1996. Major ion chemistry of groundwater in Delhi area: Chemical weathering processes and groundwater regime. *Journal of the Geological Society of India*, 47: 179–188.
- Dominguez-Villar, D., Vázquez-Navarro, J.A., Krklec, K.* 2017. The role of gypsum and/or dolomite dissolution in tufa precipitation: lessons from the hydrochemistry of a

- Pentecost, A. 1993. *British travertines: a review.* *Proc. Geol. Ass.*, 104: 23–39.
- Pentecost, A. 1995. *The Quaternary travertine deposits of Europe and Asia Minor,* *Quaternary Sciences Review*, 14: 1005-1028.
- Pentecost, A. 2005. *Travertine.* Springer-Verlage Amsterdam, Netherland, 445 p.
- Pentecost, A., Viles, H.A. 1994. A review and reassessment of travertine classification. *Geogr. Phys. Quaternary*, 48: 305-314.
- Piper, A.M. 1944. A graphical interpretation of water analysis. *Transactions of the American Geophysical Union*, 25(6): 914 -928.
- Ranjbaran, M., Rahmani Javanmard, S., Sotohian, F. 2019. Petrography and geochemistry of Quaternary travertines in the Ab-e Ask region, Mazandaran Province- Iran. *Geopersia* 9 (2): 351-365.
- Sant'Anna, L.G., Riccomini, C., Rodrigues-Francisco, B.H., Sial, A.N., Carvalho, M.D., Moura, C.A.V. 2004. The Paleocene travertine system of the Itaborai' basin, Southeastern Brazil. *Journal of South American Earth Sciences* 18: 11–25.
- Stocklin, J. 1968. Structural history and tectonics of Iran. A review A.A.P.G. *Bulletin*, 52: 1221-1258.
- Subba Rao, N. 2008. Factors controlling the salinity in groundwater in parts of Guntur district, Andhra Pradesh, India. *Environmental Monitoring and Assessment*, 138: 327 -341.
- Temiz, U., Savas, F. 2015. Relationship between Akhiyyük fissure ridge travertines and active tectonics: their neotectonic significance (Ereğli-Konya, Central Anatolia). *Arab J Geosci* 8: 2383–2392.
- Todd, D. K., Mays, L.W. 2004. *Groundwater Hydrology*, John Wiley & Sons, United States of America, 537 p.
- Toker, E., Sezgül Kayseri-Özer, M., Özkul, M., Kele, S. 2015. Depositional system and palaeoclimatic interpretations of Middle to Late Pleistocene travertines: Kocabas, Denizli, south-west Turkey. *Sedimentology* 62: 1360–1383.
- Veizer, J. 1983. Trace elements and isotopes in sedimentary carbonates. *Rev. in Mineral.*, 11: 265-300.
- Weiner, R. E. 2007. *Applications of Environmental Aquatic Chemistry: A Practical Guide*, CRC Press, Taylor and Francis Group, United States of America, 360 p.